

Министерство геологии СССР
СЕВЕРО-ВОСТОЧНОЕ ОРДЕНА ТРУДОВОГО КРАСНОГО ЗНАМЕНИЯ
ТЕРРИТОРИАЛЬНОЕ ГЕОЛОГИЧЕСКОЕ УПРАВЛЕНИЕ

Г О С У Д А Р С Т В Е Н Н A я
Г E O L O G I C H E S K Aя
K A R T A С С С Р

масштаба 1:200 000

Серия Верхне-Колымская

Лист Р-56-XI

ОБЪЯСНИТЕЛЬНАЯ ЗАПИСКА

Составил М.Б.Янин
Редактор Ю.М.Бычков

Утверждено Научно-редакционным советом ВСЕГЕИ
19 июня 1977 г., протокол № 19

С13253

Москва 1981

132 07

В В Е Д Е Н И Е

Территория листа входит в состав Среднеканского и Омсукчанского районов Магаданской области РСФСР и ограничена координатами $62^{\circ}40' - 63^{\circ}20'$ с.ш. и $154^{\circ}00' - 155^{\circ}00'$ в.д. Большая часть рассматриваемой площади расположена в пределах Верхне-Балыгычанского мелкогорья и лишь незначительная (восточная) часть входит в западные отроги Омсукчанского хребта. Верхне-Балыгычанская мелкогорье представляет собой систему пологосклонных гряд высотой от 500 до 850 м, разделенных широкими корытообразными долинами, расположенными на 200–350 м над уровнем моря. Отдельные куполовидные вершины (горы Трибуна, Гракх, Талай) резко выделяются над средним уровнем мелкогорья, их абсолютные отметки 743–976 м. Средние относительные превышения водоразделов над днищами долин 200–250 м, в отдельных случаях 350–400 м. Западные отроги Омсукчанского хребта на 350–400 м воздымаются над мелкогорьем и отличаются крутосклонным сильно расчлененным рельефом с абсолютными высотами 1240–1300 м при относительных превышениях над днищами долин 600–700 м.

Речная сеть района представлена р. Балыгычаном и его правыми притоками – Кырчаном, Длагыном, Булуром. Рисунок гидросети древововидный, участками редетчатый. Плотность гидросети значительная и колеблется от 0,8 до 1,4 пог. км на 1 км² территории. Продолжение уклонов днищ долин основных водотоков 0,0016–0,0045.

Река Балыгычан протекает вдоль западной границы листа в широкой (до 8 км) террасированной, сильно заболоченной и заросшей долине. Ширина русла реки колеблется от 60 до 100–120 м

при средней глубине 1-1,3 м; на широких плесах глубина нередко достигает 5-6 м. На всем протяжении р.Балыгчан имеет ярко выраженное основное русло, судоходное для маломаревых речных судов с осадкой не более 0,8 м. Гидрологический режим реки крайне не равномерный. Средний расход воды в период летне-осенней межени равен $119 \text{ м}^3/\text{с}$, в зимние месяцы он сокращается до $5-10 \text{ м}^3/\text{с}$, в паводки расход воды достигает $1200-1400 \text{ м}^3$ [7]. Крупные притоки Балыгчана - Кирчан и Джагын менее полноводны; ширина их русел не превышает 20-40 м при глубине 0,6-1,5 м. Русла рек сильно меандрируют и часто разветвляются на протоки, изобилующие малкими перекатами. Для судоходства и лесосплава они не пригодны.

Климат района резко континентальный с продолжительной сухой зимой и коротким теплым летом. Самая низкая среднемесячная температура, по данным Сеймчанской метеостанции, расположенной в 75 км западнее района, приходится на январь ($-48,5^\circ$), абсолютный минимум -62° . Максимальная среднемесячная температура в июле ($+14,9^\circ$), абсолютный максимум $+35^\circ$. Среднегодовая температура -12° . Годовое количество осадков не превышает 350 мм, наибольшее их количество приходится на август. Устойчивый снежный покров устанавливается в последнюю декаду сентября и разрушается в конце мая. Наиболее ветреными являются осенне-зимние месяцы; преобладают северные ветры силой 4-10 м/с. Ледостав на реках происходит во второй декаде октября, вскрываятся они во второй половине мая. Небольшие реки и ручьи зимой полностью перерывают. Продолжительность вегетационного периода 80-100 дней. Район расположен в зоне развития многолетней мерзлоты. Максимальная глубина оттаивания сезонного слоя наблюдается в августе и на южных склонах достигает 2-3 м.

Низкогорная часть района покрыта лиственничным редколесьем, зарослями кедрового стланника, ольховника и кустарниковой бересклети. Массивы леса, пригодного для промышленного и гражданского строительства, имеются в долинах Балыгчана, Кирчана и Джагына. Кроме лиственницы, здесь растут тополь, береза, рябина и черемуха. Среднегорная часть района представляет собой гольцовую тундру. Растительный покров низкогорной части сильно пострадал от крупных лесных пожаров 1972-1973 гг., охвативших свыше 40% площади.

Единственный населенный пункт, пос.Лунный, находится в долине Балыгчана в 6 км ниже устья Кирчана. Его население за-

нято лесозаготовками. Поселок связан автомобильным зимником, функционирующим с ноября по апрель, с пос.Среднеканом. Все речные долины района легко доступны для гусеничного транспорта.

Обнаженность большей части территории плохая. Широкие водораздельные пространства и долины сильно задернованы; незначительные по протяженности коренные обнажения встречаются редко. Местность в районе отрогов Омсукчанского хребта обнажена значительно лучше.

ГЕОЛОГИЧЕСКАЯ ИЗУЧЕННОСТЬ

Первые сведения о геологическом строении рассматриваемого района получены в 1936-1941 гг. геологами Я.М.Фейгином [29], И.Н.Зубревым [18], Г.Г.Колтовским [21], В.А.Трифоновым [27], Д.С.Харкевичем и А.М.Авдеевым [30], закартированными в масштабе 1:500 000 бассейнами Булура, Джагина и Кирчана. Они установили широкое развитие верхнетриасовых и нижнеюрских морских терригенных отложений, расчлененных по литологическим признакам на толщи, описали небольшие интрузивные тела и дайки кислого и среднего состава, выявили слабую золотоносность аллювия рек Кирчана и Балыгчана.

В 1941 г. Ф.К.Швидченко закартировала в масштабе 1:100 000 левобережье Балыгчана в северо-западной части района. Среди осадочных образований она выделила верхненорийские глинистые сланцы и нижнелейасовские базальные конгломераты, тургенические песчаники и глинистые сланцы, содержащие остатки иноптерамов. В результате работы партии установлена кассiterитоносность аллювия левых притоков Балыгчана.

В 1944 г. В.А.Трифонов [28] в том же масштабе исследовал значительную часть междууречья Джагина и Булура. Морские осадочные образования он разделил на сланцево-туфовую и сланцевую свиты верхнего триаса и согласно перекрывающие их туфосланцевую и туфопесчаниковую свиты лейаса. Свиты нижнего мезозоя смыты в крутие складки северо-восточного простирания и с угловым несогласием перекрыты слабо дислокированными угленосными отложениями верхней юры - нижнего мела и полого залегающими верхнемеловыми линзами и их туфами. Интрузивные образования представлены позднемеловыми дайками и силлами диабазов, габбро-диа-

базов и плагиопорфиров и штокообразными телами позднемеловых гранит-порфиров и кварцевых порфиров. В аллювии Лев.Будура и руч.Роман обнаружены зерна кассiterита, а по руч.Лимит - хиновари; в бассейне Лев.Будур выявлены пласти каменного угля рабочей мощности.

В 1945 г. В.И.Лебединский [24] исследовал юго-восточную часть района. Он выделил верхнетриасовые и лейасовые терригенные образования и перекрывающие их с угловым несогласием позднемеловые эфузивы, закартировал большое количество даек диоритов, диоритовых порфиритов, диабазов и трахибазальтов, описал небольшое тело трахибазальтов на правобережье Джагина, рассекающих верхнемеловые кварцевые порфiry. В аллювии правых притоков р.Джагина он обнаружил редкие зерна кассiterита и хиновари. В том же году В.Р.Шмелев и В.А.Данилевский [16] провели детальное шлиховое опробование левых притоков р.Балыгчана и установили слабую золотоносность аллювия ручьев Спартак и Лунный.

В 1948 г. А.Л.Крист [22] закартировал левобережье Кырчана и установил широкое развитие фаунистически обоснованных нормико-ретских образований.

В 1950 г. Н.И.Лариним, Л.А.Снятковым и А.С.Симаковым составлена Геологическая карта верховьев рек Колымы, Индигирки и северного побережья Охотского моря м-ба I:500 000. Основываясь на данных дешифрирования аэрофотоснимков, А.С.Симаков выделил в среднем течении р.Джагина отложения верхней перми.

В 1952 г. на левобережье Балыгчана М.Н.Лейбович [25] выделил нормиковые тургогенные песчаники со слоями монотисовых ракушников, прорванные штокообразными телами гранит-порфиров. В том же году Г.А.Климов [19] в бассейне Лев. Будур установил песчано-сланцевую угленосную свиту поздней юры-зельда и позднемеловые покровы липаритов и андезитов. Поверхностными горными выработками в бассейне руч.Угольный вскрыты два пласта каменного угля и обнаружены небольшие весовые содержания кассiterита в аллювии руч.Белка.

В 1957 г. издан лист Р-56 Государственной геологической карты СССР м-ба I:1 000 000 [9]. В среднем течении Джагина на карте показаны большие площади верхнепермских и ниже-среднетриасовых отложений; выходы базальтов вблизи устья Каюкки А.С.Симаков считает палеогеновыми.

В 1958 г. юго-западная часть района закартирована А.А.Потурусовым и В.Н.Белокопытовым [13]. Впервые палеонтологически

обоснован юрокий возраст осадочных отложений и они разделены на четыре различные по составу толщи. Интрузивные образования расчленены на позднериорские и позднемеловые; установлена слабая оловоносность и золотоносность аллювия ручьев Майский и Кросс.

В 1964 г. В.А.Москалев и Ю.Ф.Кузьмин провели гравиметрические исследования в м-бе I:1 000 000 [26]; в восточной части района выявлена линейная зона повышенных градиентов силы тяжести меридионального профиля.

В 1965 г. Д.Н.Барченко [12] проведена аэромагнитная съемка м-ба I:50 000. На фоне ровного слабостри桩ательного магнитного поля виделся ряд изометричных и линейных аномалий. Локальные аномалии совпадают с мелкими штоками интрузивных пород среднего и кислого состава, линейные аномалии фиксируют крупные разрывные структуры.

В 1967 г. В.Г.Кобылинским [20] составлена Геологическая карта и карта полезных ископаемых территории деятельности Ом-сукчанской экспедиции м-ба I:500 000. В пределах рассматриваемого района показаны преимущественно ирские образования.

В 1971 и 1974 гг. восточная часть рассматриваемой территории охвачена аэрогаммаспектрометрической съемкой м-са I:50 000 и I:25 000. В процессе работ на правобережье руч.Зеленый выявлена аномалия калиево-составляющей гамма- поля, рекомендованной для дальнейшего изучения [15].

В 1974 и 1975 гг. М.Б.Данин совместно с А.А.Терещенко (1974 г.), Е.И.Сорокиным и А.Л.Чуравцовым (1975 г.) провели геологическую съемку м-ба I:200 000 в северо-западной части района и геологическое доказательство в том же масштабе на остальной части территории [23]. В процессе работ произведено геологическое дешифрирование аэрофотоснимков м-са I:79 000 (занеты 1947 г.), I:27 000 (1964 г.) и радиолокационных снимков м-са I:200 000 (1974 г.). Качество снимков хорошее. На снимках хорошо дешифрируются разрывные нарушения, границы покровов эфузивов, отдельные пачки осадочных пород, крупные дайки кислого состава, отдельные детали складчатых структур, геоморфологические элементы.

В результате этих работ выделены фаунистически обоснованные отложения карийского и нормикового ярусов, уточнены границы развития юрских отложений и пополнено их палеонтологическое обоснование, пересмотрен возраст киолых вулканитов бассейна Лев.Будура, интрузивные образования разделены по возрасту и условиям

формирования, получены дополнительные данные о их химическом составе и абсолютном возрасте, выявлены рудопроявления золота, серебра, ртути. Некоторые важные вопросы геологического строения района, однако, остались освещенными еще недостаточно полно. Так, например, не было получено достаточное палеонтологическое обоснование возраста вулканогенных толщ верхнего мела и палеогена, недостаточно полно обоснован возраст юрских и нижнемеловых толщ, раннемеловых малых интрузий и даек гранит-порфиров, диабазов и др., слабо изучено перспективное проявление ртути в бассейне руч. Лимит. Решение этих вопросов возможно при более детальных геологосъемочных и тематических работах.

Составление Государственной геологической карты, совмещенной с картой полезных ископаемых, начато в ноябре 1976 г. и окончено в марте 1977 г. Кроме материалов, полученных автором, при составлении геологической карты и объяснительной записки к ней использованы материалы аэрогравиметрической и аэромагнитной съемок и данные предшествующих геологосъемочных и геологопромышленных работ.

Определения ископаемой фауны и флоры сделаны специалистами СВГГУ А.Ф.Быковой, Ю.М.Вычковым, В.П.Кинасовым, И.В.Полуботко, Е.С.Репиным и Г.Г.Филипповой. Палинологические анализы выполнены в Центральной лаборатории СВГГУ В.Н.Василенко, Э.А.Петровой, Е.И.Располовой и В.Е.Тереховой, силикатные анализы магматических пород сделаны там же А.Л.Бурмистровой и Н.В.Кондратиной. Возраст магматических город определен в лаборатории петрологии и геохимии магматических формаций СНИИИ ДВНЦ СО АН СССР.

В отличие от ранее изданных листа Р-56 геологической карты СССР м-ба 1:1 000 000 в рамках рассматриваемой территории вместо пермских и нижне-среднетриасовых показаны юрские отложения, пересмотрен возраст эфузивов в бассейне Лев.Будура, выделены раннемеловые малые интрузии и даики. Геологические карты листа Р-56-Х и смежного листа Р-56-Х полностью увязаны между собой. С листом Р-56-ХI имеются расхождения в датировке возраста вулканогенных толщ в верховых Лев.Будура, а на его правобережье вместо наяхансской свиты показано субвулканическое тело линзитов. На границе с листом Р-56-ХII уточнены контуры речных долин и выделены юрские отложения. Указанные неувязки объясняются получением при дополнении [23] новых данных о геологическом строении района.

С Т Р А Т И Г Р А Ф И Я

В геологическом строении района основная роль принадлежит морским терригенным отложениям верхнекарского комплекса, представленного верхним отделом триаса и юрской системой. Менее развиты меловые вулканогенные и угленосные отложения, палеогеновые (?) покровы базальтов и рыхлые четвертичные образования различного генезиса. Верхнекарский комплекс представляет собой мощную (5-5,8 тыс.м) толщу аргиллитов, алевролитов, песчаников и туфопесчаников, в нем имеется слой туфов андезитов, туфитов и туфогравелитов. Существенных фаунистических различий морских терригенных отложений одного и того же возраста не наблюдалось. Нижнемеловые континентальные отложения представлены алевролитами, аргиллитами и песчаниками, насыщенными углистым материалом, менее развиты конгломераты и каменные угли. Меловые вулканогенные образования представлены кислыми лавами и пирокластическими породами. Среди четвертичных отложений наиболее широко распространены аллювиальные верхнечетвертичные и современные образования.

ТРИАСОВАЯ СИСТЕМА

В е р х н и й о т д е л

Карнийский ярус (T_{3K})^{x)}

Отложения этого возраста обнаружены на площади около 25 км² в бассейне Каюковы. Они представлены толщей алевролитов и глинистых алевролитов темно-серых горизонтальнослоистых, реже косослоистых слюдистых, с единичными слоями (мощность не более

x) Карнийский и норийский возраст толщ на листе Р-56-ХI принят согласно решению I Международного соревнования по стратиграфии Северо-Востока СССР (Магадан, 1957 г.). Прим. ред.

I-I,5 м) аргиллитов темно-серых и песчаников серых известковистых мелкозернистых полевошпатово-кварцевых. По всему разрезу яруса встречаются мелкие (2-5 см в диаметре) уплощенно-эллипсоидальные алевритово-глинистые конкреции, содержащие иногда отпечатки карнийских двустворок *Halobia* sp. indet.

Алевролиты сломены остроугольными и полуокатанными зернами кварца, полевых шпатов, рудных минералов, чешуйками олии, спементированными базальным глинистым или глинисто-карбонатным цементом. Видимая мощность карнийского яруса 500-600 м.

Норийский и ратский ярусы
(T_3 п+г?)

Эти отложения распространены в южной и северной частях района. Они согласно залегают на отложениях карнийского яруса и представлены алевролитами, мелко- и среднезернистыми туфопесчаниками и аргиллитами темно-серого цвета; в нижней части разреза наблюдаются слои (1-3 м) туфов среднего состава, туфлитов, туфогравелитов и ракушечников. Нижние горизонты этих отложений содержат остатки двустворок из группы *Monotis ochotica* (Keys.) ; в верхней половине разреза окаменелостей не найдено. Основанием для выделения ратского (?) яруса является отсутствие следов стратиграфического перерыва между отложениями верхнего триаса и нижней юры.

На левобережье Кахонки обнаружены нижние горизонты норийско-ратских (?) отложений [23]. Здесь, судя по виду и разрозненным коренным выходам, разрез имеет следующий вид^{x)}:

1. Алевролиты серые и темно-серые с зеленоватым оттенком горизонтальнослоистые, чередующиеся с туфопесчаниками серым поносчатым горизонтальнослоистым мелкозернистым; мощность слоев колеблется от 0,4 до 1 м 20-30
2. Туфопесчаники серые и темно-серые мелко- и среднезернистые с прослоями алев-

^{x)} Здесь и далее описание разрезов дочетвертичных отложений приведено снизу вверх; мощность пачек дана в метрах.

ролитов и горизонтальнослоистых псаммитовых туфов с отпечатками двустворок *Monotis* sp. indet.

45-50

3. Чаредование (0,5-1,3 м) алевролитов и глинистых алевролитов серых со слабым зеленоватым оттенком с туфопесчаниками серым массивными или горизонтальнослоистыми мелкозернистыми, содержащими маломощные прослои наяснослоистых псаммитовых туфов андезитов не менее 400

Мощность отложений в этом разрезе 465-480 м.

На левобережье Кирчана в нижней части норийско-ратской (?) толщи наблюдается пачка (60-70 м) темноокрашенных грубослоистых туфогравелитов со слоями ракушечников, содержащих остатки норийских мшанок и двустворок *Discritella* ex gr. *agischevi* Nekh., *Monotis* ex gr. *ochotica* (Keys.), *M. cf. subcircularis* Gabb, *Sardinia* sp. indet., *Gryphaea* sp. indet. (определения Ю.М.Бычкова); выше нее залегают серые, зеленовато-серые алевролиты и глинистые алевролиты, чередующиеся с серыми мелко- и среднезернистыми туфопесчаниками и черными аргиллитами. В алевролитах изредка встречаются хорошие сохранности ядра *Monotis ochotica* (Keys.). Видимая мощность норийско-ратских (?) отложений на левобережье Кирчана по гравитационным построениям 600-700 м.

Расположенные в северо-западной части района норийско-ратские (?) отложения протягиваются за пределы листа в северо-восточном и юго-западном направлениях на смежные территории (Р-56-У, Р-56-Х). Здесь в сводовой части крупной антиклинали обнаружены верхние горизонты этих отложений. Судя по коренным выходам в правом борту долины Балыгчана, разрез их следующий [23] :

1. Алевролиты серые тонкогоризонтальнослоистые, реже косослоистые блестящие известковистые (слой мощностью 0,3-0,4 м) с частыми прослоями аргиллитов (0,1-0,2 м) темно-серых сильно рассланцованных. Отграничения слоев четкие, нередко в кровле слоев алевролитов наблюдается очень мелкая рапа течения 100-120
2. Частое чередование слоев (0,2-

0,8 м) алевролитов и песчанистых алевролитов серых до темно-серых тонкодислоцированных горизонтальнослойистых известковистых с аргиллитами темноокрашенными сильно рассланцованными	I60-I80
3. Аргиллиты черные рассланцованные с частыми прослойками серых алевролитов ...	30-40
4. Алевролиты серые горизонтальнослойистые, нередко известковистые (0,6-2,5 м) с подчиненными слоями (0,4-0,7 м) аргиллитов черных рассланцованных. Породы содержат тонкую вкрапленность пирита; иногда наблюдаются стяжения его неправильной формы размером до 4 см в поперечнике ...	I80-200
5. Алевролиты черные неяснослойистые чередующиеся с алевролитами серыми косослоистыми, нередко известковистыми и песчаниками алевритовыми мелкозернистыми; мощность слоев алевролитов несколько меньше, чем аргиллитов	80-90
Быше залегают ритмично чередующиеся алевролиты и аргиллиты нижней юры. Мощность толщи 550-630 м.	

На левобережье руч. Роман в его приусадебной части норийско-ретские (?) отложения выделены условно. Здесь в оводе антиклинали обнажены серые и зеленовато-серые алевролиты и песчанистые алевролиты, чередующиеся с темно-серыми аргиллитами. Видимая мощность толщи не более 200-250 м.

Полная мощность норийско-ретских (?) образований 1000 - 1200 м.

Туфопесчаники - серые и темно-серые мелко- или среднезернистые, на 85-95% сложенные полукатанными обломками андезитов (резко преобладают), плагиоклаза, кварца, калишпата, содержащие небольшую (3-5%) примесь алевритовых частиц. Цемент песчаников глинисто-карбонатный, заполнения пор или контактовый. Кристаллоокластические туфи среднего состава - темно-серые неяочно горизонтальнослойистые мелкообломочные породы градационного сложения; размер пирокластов постепенно уменьшается от 0,25-0,5 мм у подошвы слойков до 0,03-0,07 мм у кровли. Образованы они неокатанными обломками андезитов (70% объема) и кристаллоокластами

плагиоклаза, часто имеющими правильные кристаллографические очертания, единичными зернами базальтов, дацитов, кварца. Обломки конформно приклеиваются друг к другу; вдоль контактов обломков развиты тонкие пленки изостроенных глинистых минералов.

Туфогравелиты - грубозернистые темно-серые, на 70-80% сложенные полукатанными и угловатыми обломками андезитов; размер гранулевых зерен от 3 до 6-8 мм; цемент заполнения пор, псаммитовый или алевропсамитовый, состоящий из обломков андезитов, полевых шпатов, вулканического стекла, очень редко кварца.

ЮРСКАЯ СИСТЕМА

Юрские отложения слагают около 75% площади рассматриваемого района. Они представлены маратской свитой, мэмчанской толщей и вышележащими октиабринской и кучуканской свитами.

Нижний - средний отделы

Маратская свита (J_{1-2}^{mt})

Свита обнажена в сводовых частях и на крыльях крупных антиклиналей в северо-западной и южной частях района. Взаимоотношения свиты с подстилающими образованиями не наблюдались. Какие-либо данные о наличии перерыва между отложениями маратской свиты и породами верхнего триаса отсутствуют. Поэтому предположительно считается, что маратская свита согласно налегает на подстилающие отложения. Такие взаимоотношения между триасом и юрой наблюдаются повсеместно в пределах Иньля-Дебинского мегасинклинария, в том числе на соседнем листе Р-56-Х [8]. С.И.Филатов [10], впервые описавший маратскую свиту на территории соседнего с востока листа, допускал наличие местного кратковременного перерыва на границе позднего триаса и юры. Полные разрезы свиты в районе отсутствуют.

Маратская свита сложена двухкомпонентным терригенным алеврито-глинистым флишем. Первый элемент ритма представлен алевролитами серыми горизонтально-и кососложистыми, нередко песчанистыми и известковистыми; мощность его 0,04-0,1 м. Второй элемент

ритма сложен аргиллитами темно-серыми, почти черными рассланцованными; мощность его 0,08-0,2 м. Границы между элементами ритма выражены плохо; вблизи кровли слоя алевролиты обогащаются глинистым материалом и на протяжении 2-3 см сменяются алевритовыми аргиллитами, а затем и аргиллитами. Серии ритмов мощностью 10-40 м разделены между собой грубыми (2-10 м) слоями серых и темно-серых мелкозернистых, нередко известковистых, песчаников.

Органическими остатками отложения маратской свиты крайне бедны; единственная находка в бассейне руч. Тихий происходит из верхней половины разреза свиты. Здесь И.В.Полуботко определен белемнит из семейства *Nastitidae*, свидетельствующий об ааленском возрасте имеющихся слоев. На смежном листе Р-56-Х В.А.Сдергачиным в аналогичных отложениях найдены отпечатки раннеюрских *Otapiria ex gr. originalis* (Кираг.). Эти находки полностью согласуются с выводом С.И.Филатова о ранне-среднеюрском возрасте маратской свиты.

Мощность маратской свиты, определенная графически, 1100-1300 м; возможно, она несколько меньше.

Средний отдел

Мемечанская толща (J_2^{mm})

Толща распространена наиболее широко. Она согласно перекрывает маратскую свиту и сложена архимично переслаивающимися алевролитами, алевритовыми аргиллитами, мелкозернистыми песчаниками и туфопесчаниками, иногда включающими небольшие линзы гравелитов и прослои туфов андезитов.

Мемечанская толща наиболее полно охарактеризована ископаемыми остатками. И.В.Полуботко и В.П.Кинчасов в сборах из этой толщи определили *Mytiloceramus cf. provincialis* (Kosch.), *M. ex gr. polyplocus* (Roem.), *M. ex gr. menneri* (Kosch.), *M. ex gr. lucifer* (Eichw.), *Belemnites gen. indet.*, свидетельствующие о среднеюрском (аален-байос) ее возрасте.

Нижняя часть мемечанской толщи изучена по коренным обнажениям в береговых обрывах на правобережье Джагыма ниже устья руч. Крос. Здесь на маратской свите согласно залегают [23] :

I. Слюдистые алевролиты и глинистые алевролиты темно-серые горизонтальнослойстые (слой мощностью 0,3-1 м) с тонкими (0,05-0,2 м) прослойями черных аргиллитов	30-40
2. Известковистые песчаники мелкозернистые темно-серые грубосложные	4
3. Частое тонкое чередование (0,2-1,5 м) глинистых алевролитов, песчанистых алевролитов и мелкозернистых песчаников темно-серого цвета	80-100
4. Глинистые алевролиты темно-серые неяснослоистые с тонкими (0,2-0,5 мм) углисто-глинистыми пропластками и сильно вытянутыми линзами алевритовых мелкозернистых песчаников, содержащих обильный растительных дегрит	60-70
5. Частое переслаивание (0,1-0,5 м) алевролитов темноокрашенных горизонтально- и косослоистых, туфопесчаников серых до темно-серых мелкозернистых и черных аргиллитов. Встречаются тонкие (0,05-0,1 м) прослои алевропсамитовых туфов андезитов	I20-I40
6. Однообразные алевролиты и глинистые алевролиты темно-серые горизонтально- и косослоистые слюдистые, нередко известковистые, с отдельными слоями песчаников серых, бурых массивных или косослоистых мелкозернистых, содержащих мелкие обломки призматического слоя раковин митилопсаремов	90-100
7. Тонкое чередование (0,1-0,3 м) темноокрашенных алевролитов и алевритовых мелкозернистых песчаников. Широко развиты косослоистые текстуры и знаки раби на поверхностях напластования; в песчаниках нередки углефицированные обломки древесины	45-50
8. Частое чередование (0,05-0,4 м) темноокрашенных алевролитов; пачка вклю-	

част три мощных (1,5-2 м) слоя серых неяснослойистых туфопесчаников мелко-среднезернистых плохо отсортированных с редкой хорошо окатанной "плавающей" галькой аргиллитов и отдельными обломками призматического слоя раковин митилодермов 170-180
Мощность разреза 600-684 м.

Средняя и верхняя части мемчанской толщи наблюдались в разрозненных коренных обнажениях по левому берегу руч. Кросс [23]:

1. Алевритовые аргиллиты темно-серые слабослюдистые, перемежающиеся с неясно слойистыми мелкозернистыми песчаниками и алевролитами; мощность слоев 0,4-0,8 м 40-50

2. Глинистые алевролиты темно-серые слабослюдистые, чередующиеся с серыми и темно-серыми мелкозернистыми вулканомиктовыми и глинистыми известковистыми пачками; мощность слоев алевролитов достигает 1,5-2 м, песчаников не превышает 0,7 м 150-170

3. Равномерное чередование алевролитов темноокрашенных горизонтально- и косослоистых и песчаников мелкозернистых известковистых 80-90

4. Алевролиты серые слойистые с редкими слоями (0,3-0,4 м) известковистых песчаников очень плотных почти черных с сизоватым оттенком, при ударе издающих слабый сероводородный запах и содержащих обломки призматического слоя раковин митилодермов 20

5. Чередование (0,5-1,5 м) глинистых алевролитов, аргиллитов и мелкозернистых песчаников темно-серого цвета. Нередко между слоями алевролитов и песчаников отмечаются тонкие пропластки (2-5 м) землисто-того, легко растирающегося между пальцами слюдисто-глинистого материала.

В отдельных обнажениях от препаратированы крупные (до 80 x 10 м) поверхности кровли пластов песчаников со знаками ряби. В этих же обнажениях наблюдалось резкое (на протяжении 1 м) изменение состава слоев по простирианию от глинистых алевролитов до мелкозернистых песчаников. Глинистые породы содержат обильную тонкую вкрапленность пирита и отдельные марказитовые стяжения размером до 5 см в поперечнике. В верхней половине пачки найдены обломки ядер *Mytiloceramus* sp. indet (M. cf. *provincialis* Kosch.) 100-110

6. Алевролиты черные углистые с отдельными мощными слоями (до 2,5 м) туфопесчаников темно-серых неяснослойистых мелкозернистых, содержащих отпечатки *Mytiloceramus* ex gr. *polyplocus* (Roem.), M. ex gr. *menneri* (Kosch.), M. ex gr. *lucifer* (Eichw.), M. sp. indet. (M. brownii Marwick), *Belemnites* gen. indet 30-40

Выше залегают серые мелко- и среднезернистые песчаники октабринской свиты.

Мощность отложений в этом разрезе 430-480 м.

Полная мощность мемчанской толщи в низовых Джалына не превышает 1000-1200 м.

Алевритовые аргиллиты представляют собой темно-серые, почти черные, неясно слойистые плотные глинистые породы с небольшой примесью углистого вещества, алевритовых частиц кварца и полевых шпатов. По глинистому веществу развивается серицит и карбонат. Мелкозернистые песчаники и алевролиты сложены хорошо окатанными зернами кварца, плагиоклаза, калишпата, мусковита, акцессорных минералов представлены цирконом, хромшинелидом, рутилом, антазитом, апатитом, гранатом. Алевритовые песчаники содержат примесь (15-20%) мелкоалевритовых частиц кварца и плагиоклаза.

Гравелиты прерывистослоистые грубозернистые, состоят из хорошо окатанных обломков андезитов, осадочных пород, базальтов, флюидальных липаритов, кварца и плагиоклаза; цемент - заполнения пор или базальный, алевритово-песчаный.

Октябринская свита (J_2 OK)

Свита приурочена преимущественно к центральной и восточной частям района; она согласно залегает на мемчачской толще и слагает крылья и мульды синклинальных складок в бассейнах ручьев Майский, Кросс, Лимат, Зеленый и Курсант. Свита сложена туфопесчаниками и алевролитами при заметном участии гравелитов и псамитовых туфов андезитов, что резко отличает ее как от подстилающих, так и от перекрывающих отложений. Строение свиты очень однообразное. В ее составе резко преобладают серые грубо-слоистые мелко- и среднезернистые плохо отсортированные туфопесчаники, постоянно содержащие большую или меньшую примесь гравийных зерен, мелкого широкластического материала, единичные хорошо окатанные плоские "плавающие" гальки осадочных пород. Среди песчаников наблюдаются непротяженные слои и линзы (мощность до 5-6 м) массивных гравелитов и прослои (0,1-0,5 м) туфов среднего состава. Песчаники образуют мощные (до 80-100 м) пачки, разделенные между собой либо мощными (до 5-6 м) слоями туфоалевролитов, либо пачками (10-15 м) тонкого чередования алевролитов и алевритовых песчаников.

По всему разрезу свиты встречаются обломки призматического слоя раковин митилодермов; находки сравнительно хорошо сохранившихся окаменелостей единичны и приурочены к нижней части свиты. На правобережье руч. Курсант в низах свиты найдены остатки *Mytiloceramus cf. tongusensis* (Lah.), *M. ex gr. retrorsus* (Keys.) и обломки довольно толстых ростров белемнитов *Balemites gen. indet.*, свидетельствующие о раннесаратском возрасте имеющихся слоев. Верхняя часть свиты условно отнесена к позднему бату. Мощность свиты графическими построениями определена в 800-1000 м.

Туфопесчаники серые массивные или горизонтальнослоистые мелко- и среднезернистые, нередко с примесью более крупного песчаного материала и единичными гравийными зернами. Плохо ока-

танные песчаные частицы составляют 80-100% объема и сложены (в порядке убывания) обломками андезитов, плагиоклаза (андезина-лабрадора), циркона, кварца, калишата, базальтов, фельзитов. Гравийные зерна (3-10%) представлены обломками андезитов и осадочных пород. Цемент песчаников поровый либо соприкосновенный, глинистый, глинисто-карбонатный, иногда халцедоновый.

Литокристаллокластические туфы андезитов сложены островерхольными обломками андезитов (70-85%), кристаллокластами плагиоклаза (15-30%) и единичными литокластами базальтов и дацитов. Размер зерен колеблется от 0,1 до 1,5 мм. Цемент порово-планоченный, хлоритовый, халцедоновый, иногда туфы бесцементные.

Верхний отдел

Кучуканская свита (J_3 KC)

Свита венчает разрез верхоянского комплекса, развита незначительно и слагает мульды наиболее прогнутых синклинальных складок. На отложениях октябринской свиты залегает согласно. Она сложена алевролитами темно-серыми, иногда почти черными слабоуглистыми, алевритовыми аргиллитами, песчаниками серыми нередко косослоистыми мелкозернистыми полевошпатово-кварцевыми.

Органических остатков в кучуканской свите не найдено. Восточнее рассматриваемого района, в верховых Атаки В.Н.Шумигин (ЗИ) в отложениях кучуканской свиты нашел остатки *Vuchia ex gr. reticulata* (Lund.), по заключению К.В.Шаракецова, датирующей возраст отложений оксфордским веком. Мощность кучуканской свиты в районе не превышает 400-500 м.

Алевролиты и песчаники темно-серые горизонтально- или косослоистые тонко- и мелкозернистые, сложены на 70-95% в различной степени окатанными зернами кварца, плагиоклаза, основной массы андезитов, редко калишата, единичными зернами апатита, рутила, циркона, граната, эпидота, рудных минералов - пирита, сфalerита, магнетита. Цемент базальный или заполнения пор, глинистый, глинисто-карбонатный; в алевролитах нередко наблюдаются небольшие линзоочки углисто-глинистого материала.

МЕЛОВАЯ СИСТЕМА

Меловая система представлена двумя отделами. Нижний отдел сложен континентальными и вулканогенными образованиями, относящимися к аскольдинской и омсукчанской свитам, верхний отдел представлен кислыми вулканитами наяханская свита.

Нижний отдел

Аскольдинская свита (K_{Ias})

Эта свита в рассматриваемом районе впервые выделена в 1974 г. М.Б.Лапиным и А.А.Терещенко. Она сложена кислыми эффузивами и их пирокластитами и распространена в бассейнах Лев. Булдара. Площадь выходов аскольдинской свиты не превышает 80 - 90 км². Ранее эти образования относились к покровной либо интрузивной фации позднемелового магматизма.

Основанием для отнесения кислых вулканитов в границах листа к аскольдинской свите является их залегание ниже отмукчанской свиты, многочисленные находки галек этих вулканитов в конгломератах омсукчанской свиты, некоторые различия в химизме аскольдинских и позднемеловых вулканитов и находки в прослоях туфов лишаритов остатков ископаемых растений *Phoenicopsis ex gr. angustifolia* Heer, *Carpolites* sp., *Picea* sp. (определения Г.Г.Филипповой), обычных для комплекса раннемеловых флор Балыгчано-Сугойского прогиба.

Аскольдинская свита залегает с резким угловым и азимутальным несогласием на дислоцированных отложениях верхонинского комплекса и сложена серыми, зеленовато-серыми лишаритами и их туфами. Наибольшее количество слоев пирокластических пород приурочено к нижней части свиты, здесь же находятся единичные слойки алевролитов, переполненных углефицированными обрывками растений и крупными обломками обугленных древесных стволов.

На междуречье ручьев Ромен и Белка по элювиальным развалам наблюдался следующий разрез свиты [23] :

1. Алевритовые пелевые туфы лишаритов серые и светло-серые с примесью 10-15% более крупных (до 2 мм в поперечнике) кристаллокластов кварца и калишпата, а также литокластов (до 5 мм в поперечнике) лишаритов и вулканического стекла. Нередко в туфах встречаются обугленные обломки древесины

20-30

2. Серия потокообразных залежей (мощность 15-25 м) лишаритов зеленовато-серых тонкофлюидальных с небольшим (не более 5%) количеством мелких (1-2 мм) вкрашенников калишпата и кварца. Между потоками встречаются маломощные линзы мелкообломочных туфов лишаритов

I20-I40

3. Лишариты темно-серые массивные, состоящие из стекловатой основной массы, в которую погружены мелкие (1-2 мм) вкрашенники калинатрового полевого шпата и квагча, количество которых не превышает 10-15%

30

4. Серия линз (мощностью 10-50 м) лишаритов зеленовато-серых с большим количеством крупных (до 3-4 мм) вкрашенников калинатрового полевого шпата и кварца. В подошве таких линз наблюдается автобреции лишаритов

I60-I80

5. Серия мощных (50-60 м) потокообразных залежей мелкопорфировых лишаритов зеленовато-серых до темно-серых с небольшим (не более 20% объема породы) количеством вкрашенников; в нижней части залежей лишариты нередко имеют флюидальную текстуру

400-450

6. Чередование мощных (30-50 м) залежей лишаритов, отличающихся между собой количеством и размером вкрашенников. В верхней части пачки наблюдаются прослои темно-серых псамитовых туфов лишаритов с отпечатками *Phoenicopsis ex gr. angustifolia* Heer, *Carpolites* sp., *Picea* sp.

250-270

Мощность свиты в этом разрезе 980-1100 м.

Максимальная мощность аскольдинской свиты на левобережье Лев.Будура, видимо, не превышает 1100-1200 м.

Лишариты массивные, реже флюидальные, порфировые породы; основная масса породы вытеснена или микротектонитовая с элементами микролегматитовой. Вкрапленники (5-10, до 45% объема породы) – идиоморфные кристаллы калинатрового полевого шпата (30-50%), кварца (30-40%) и альбита (5-10%). Кварц обычно сильно резорбирован. Размер вкрапленников варьирует от 0,5-1 до 3-4 мм. Основная масса породы представляет собой либо сильно серпентинизированное кислое стекло, либо очень тонкий кварц-полевошпатовый агрегат. Аксессорные минералы представлены цирконом и апатитом. Химический состав лишаритов приведен в табл. I (анализы I-3); от среднего состава лишаритов, по Дэли, они отличаются высоким содержанием кремнекислоты и низким содержанием окисей кальция и магния. Примечательная особенность пород – резкое преобладание калия над натрием.

Туфы лишаритов – серые и темно-серые массивные и горизонтальнослоистые мелко- и среднеобломочные пирокластические породы, состоящие из остроугольных обломков кварца, калинатрового полевого шпата, альбита, литокластов лишаритов и кислого стекла; цемент заполнения пор, пепловый. Вторичные минералы – хлорит, эпидот и серпентит.

Омсукчанская свита (K_1 ом)

Свита закартирована на площади около 25 км² в бассейне Лев. Будура. Она согласно залегает на лишаритах аскольдинской свиты и сложена песчаниками вулканомиктовыми разновернистыми серого цвета, темноокрашенными углистыми алевролитами и аргиллитами, содержащими прослои и линзы гравелитов и мелкогалечных конгломератов и пласти каменного угля. На контакте с аскольдинскими лишаритами алевролиты омсукчанской свиты содержат примесь туфового материала и отдельные слои литовитрокластических туфов лишаритов.

Слон алевролитов и аргиллитов содержит остатки растений – *Pityophyllum nordenskioldii* (Heer) Nath., *P. angustifolium* (Nath.), *Baiera* sp. [19]; на смешной с востока территории в средней подсвите собраны более многочисленные остатки, включаяющие

Birisia onychioides (Vassil. et K.-M.) Samyl., *Comiopteris kolymensis* Pryn., *C. arctica* (Pryn.) Samyl., *C. burejensis* (Zal.) Sew., *C. pumpharum* (Heer.) Vachr., *C. setacea* (Pryn.)Vachr., *Neozamites* sp., *Ginkgo sibirica* Heer, *G. huttonii* (Sternb.) Heer, *G. adiantoides* (Ung.) Heer, *Czekanowskia rigida* Heer. Перечисленный комплекс флоры, по заключению В.А.Самылиной и Г.Г.Филипповой, свидетельствует об альбском возрасте вмещающих отложений.

Разрез средней подсвиты омсукчанской свиты задокументирован в бассейне руч.Белка по эоловально-делювиальным развалам и редким коренным обнажениям [23]; он имеет вид:

I. Углистые алевролиты черные массивные с примесью (5-10%) рогульчатых крупно-алевритовых обломков кислого стекла	20
2. Алевролиты темно-серые наясыно горизонтальнослоистые с тонкими (0,1-1 см) слойками пепловых литовитрокластических туфов лишаритов	25
3. Чередование глинистых алевролитов темно-серых землистых и углистых алевролитов черных нередко тонкослоистых с вулканомиктовыми песчаниками серыми тонкослоистыми плохо отсортированными мелкозернистыми. Мощность слоев алевролитов 2-6 м, песчаников не превышает 1,5 м. В средней части пачки туфы лишаритов (2,5-3 м) литовитрокластические серые наясынослоистые	I00-I20
4. Вулканомиктовые песчаники серые грубо-слоистые мелко- и среднезернистые, содержащие маломощные (до 1 м) линзы гравелитов серых массивных с туфовым литокристалло-кластическим цементом и прослоем черных углистых алевролитов	I60-I80
5. Мелкогалечные конгломераты серые массивные с небольшим количеством галек среднего и крупного размера	20-25
6. Углисто-глинистые алевролиты черные тонкослоистые с прослоями темно-серых песчанистых алевролитов, в средней части пачки имеющие пласт (0,3-0,5) черного блестящего каменного угля	20-25

Таблица I

Химический состав эфузивных пород, вес.%

Окислы	Номера анализов						
	I	2	3	4	5	6	7
	Номера проб						
	86	II09-Б	III-Х	II82	II97	I207	I87
SiO ₂	78,10	73,71	76,68	68,85	69,60	69,76	50,89
TiO ₂	0,16	0,25	0,16	0,40	0,30	0,28	1,46
Al ₂ O ₃	12,64	13,58	12,31	14,64	14,46	14,90	17,41
Fe ₂ O ₃	0,07	0,79	0,78	0,99	0,89	0,49	2,34
FeO	0,48	1,61	0,64	2,33	2,33	2,69	6,66
MnO	Сл.	0,05	Сл.	0,09	0,07	0,08	0,17
CaO	0,09	0,78	0,35	2,18	1,57	2,18	8,28
MgO	0,06	0,19	Сл.	0,44	0,38	0,25	3,88
Na ₂ O	2,20	3,15	2,10	2,87	3,38	3,35	3,41
K ₂ O	4,80	4,80	5,43	3,65	4,03	3,84	1,30
P ₂ O ₅	0,05	0,12	0,09	0,16	0,14	0,14	0,83
-H ₂ O	0,25	0,06	0,14	0,08	0,25	0,08	0,28
+H ₂ O	0,88	0,64	0,96	1,70	1,63	1,25	0,70
CO ₂	-	-	-	1,34	0,63	0,58	2,30
Сумма	99,78	99,73	99,64	99,72	99,66	99,87	99,91
п.п.п.	1,10	0,59	1,12	3,12	1,98	1,83	2,74

Числовые характеристики по А.Н.Заварышкову

I	2	3	4	5	6	7	8
a	11,0	13,4	11,9	11,7	13,1	12,9	10,0
c	0,1	0,9	0,4	2,7	1,9	2,7	7,4
b	5,4	4,7	4,4	6,6	6,0	5,2	19,3
s	83,5	81,0	83,3	79,0	79,0	79,2	63,3
a'	87,9	47,2	71,2	41,1	37,5	32,9	-
f'	9,7	45,9	28,8	47,3	51,1	59,2	46,4
m'	2,4	6,9	-	11,6	11,4	7,9	36,2
c'	-	-	-	-	-	-	17,4
n	40,7	50,0	37,2	54,7	56,1	57,1	79,8
q	1,2	13,9	15,2	12,6	13,7	7,9	10,9
t	0,3	0,3	0,2	0,4	0,3	0,3	2,2
Q	44,9	34,3	42,4	31,9	29,9	29,9	0,8
a:c	110	14,9	29,7	4,3	6,8	4,8	1,3

Аскольдинская свита: 86 - липарит, водораздел ручьев Белка - Угольный; II09-Б - туфолава липарита, правобережье руч.Клещ; III-Х - липарит, истоки руч.Белка. Наяханская свита: II82 и II97 - игнимбрит липаритового состава, истоки руч.Безымянной; I207 - игнимбрит липаритового состава, правобережье Каюкки. Палеоген: I87 - базальт, правоберегье Джагына. Коллекция М.Б.Лапина [23], анализ А.П.Бурмистрова.

7. Песчанистые алевролиты серые до темно-серых горизонтально- и косослоистые, слагающие слои мощностью 0,5-0,8 м, между которыми заключены прослои (0,05-0,1 м) неясно полосчатых углисто-глинистых алевролитов	50-60	каномиктовых песчаников серых массивных или грубослоистых мелкозернистых и линзами гравелитов	30
8. Черные углистые алевролиты с редкими линзовидными пластами (до 1 м) серых и темно-серых массивных гравелитов и мелкогалечных конгломератов	40	17. Вулканомиктовые песчаники темно-серые бурые массивные среднезернистые с многочисленными остатками обугленной древесины	70
9. Аргиллиты темно-серые грубослоистые с прослойками (0,3-0,6 м) черных углистых алевролитов и песчаников серых массивных мелкозернистых	50	Мощность разреза 850-930 м.	
10. Углистые алевролиты черные тонкослоистые с прослойками аргиллитов и малоомощным (0,8-1 м) пластом черного блестящего каменного угля	30	Видимая мощность омсукчанской свиты 900-1000 м.	
11. Глинистые алевролиты темно-серые горизонтально- и косослоистые слабослюдистые с прослойками (0,2-1 м) серых мелкозернистых вулканомиктовых песчаников	80	Вулканомиктовые песчаники - серые до темно-серых мелко- и среднезернистые, состоят из окатанных и угловатых зерен лиширов, гранит-порфиров, кварца, плагиоклаза, осадочных пород, реже встречаются обломки андезитов. Цемент заполнения пор, глинистый, углисто-глинистый, часто хлоритизированный. Аксессорные минералы - циркон, хромшпинелиды, апатит, антазит, гранат.	
12. Вулканомиктовые песчаники пепельно-серые неяснослоистые мелкозернистые с частыми тонкими (0,1-0,2 м) прослойками алевролитов	60-80	Алевролиты темно-серые массивные или слоистые тонкозернистые с постоянной примесью углистого вещества; они сложены полуокатанными зернами кварца, полевых шпатов, чешуйками мусковита. Цемент глинистый и углисто-глинистый, базальный или заполнения пор. В песчанистых алевролитах наблюдается до 10% примеси частиц размером 0,1-0,15 мм; глинистые алевролиты содержат до 20% глинистых минералов.	
13. Черные углистые аргиллиты с тонкими пропластками серых алевролитов	15	Гравелиты сложены хорошо окатанными и угловатыми обломками кварца, лиширов, осадочных пород, андезитов, спементированными базальным алевритово-глинистым хлоритизированным цементом. Преобладающий размер гравийных зерен 4-6 мм.	
14. Песчаники серые грубослоистые мелкозернистые с прослойками (0,5-1 м) глинистых алевролитов черных слабоугллистых	40	Литовитрокластические туфы лиширов темно-серые полосчатые мелкообломочные, сложены литокластами лиширов и кислого стекла (до 70%) и кристаллокластами кварца, калинитового полевого шпата и альбита. Довольно отчетливо выражена гравитационная сортировка пирокластического материала. Цемент базального типа псевдофлюидальной текстуры состоит из спекшихся обломков вулканического стекла; по цементу развивается серцит.	
15. Углистые аргиллиты черные грубо-слоистые, перемежающиеся в глинистыми алевролитами темно-серыми неяснослоистыми. Мощность слоев 1-3 м. По всей пачке встречаются тонкие (0,01-0,05 м) слойки серых мелкозернистых песчаников	40	Конгломераты сложены хорошо окатанной галькой размером 2-8 см, состоящей из обломков осадочных пород, кварца, лиширов, грейзенизированных гранит-порфиров, роговообманковых диоритов. Галька кислых магматических пород составляет не менее 20% грубообломочного материала. Цемент конгломератов базальный алевритово-песчаный с примесью пирокластического материала.	
16. Алевритовые аргиллиты темно-серые горизонтальнослоистые с частыми слоями вул-			

Верхний отдел

Нааханская свита ($K_2 nh$)

Свита слагает площадь около 100 км² в юго-восточной части района; она с резким угловым и азимутальным несогласием перекрывает отложения верхоянского комплекса. Небольшое поле нааханской свиты закартировано на правобережье р. Булура; здесь она с угловым несогласием залегает и на омсукчанской свите. В центральной части Балыгчано-Сугойского прогиба нааханская свита согласно залегает на вулканитах таватумской свиты, содержащих остатки растений сеноманского возраста. Строение нааханской свиты очень однообразное; она сложена липаритами и литокристаллокластическими игнимбритами с прослойками туфов липаритов.

Наиболее полный разрез свиты описан на водоразделе ручьев Безымянного и Завала. Здесь на песчаниках октябринской свиты с резким угловым несогласием залегают [23]:

1. Литокристаллокластические туфы липаритов серые до темно-серых, зеленовато-серых	20-30
2. Залежи в форме потоков мощностью 10-20 м серых, бурых литокристаллокластических игнимбритов с возрастющей степенью сваренности игнимбритов к подошве залежей и уменьшением в этом направлении размеров кристаллокластов от 3-5 до 1-2 мм	400-450
3. Чередование линзовидных залежей литокристаллокластических игнимбритов и редкопорфировых липаритов серых массивных с редкими вкраепленниками кварца и плагиоклазов; мощность залежей 5-10 м	280-320
Мощность всей толщи 700-800 м.	

Аналогичное строение нааханская свита имеет и на правобережье Каховки и в бассейне р. Тихий.

Литокристаллокластические игнимбриты липаритов - серые, зеленоватые псевдофлюидальные игнимбритовой литокристаллокластической структуры. Кристаллокласти и литокласти (20-40%) размером

2-10 мм в поперечнике представлены ксеноморфными зернами кварца, калишпата (санидина) и альбита, обычно корродированными основной массой и уплощенными сплавленными обломками липаритов. Основная масса состоит из бурого сертифицированного стекла, в котором при большом увеличении различны отдельные деформированные обломки, обтекающие кристаллокласти. Возраст игнимбритов, определенный калий-аргоновым методом, 85 млн. лет (табл.2, пробы 1197). Химический состав липаритовых игнимбритов нааханской свиты приведен в табл. I (анализы 4-6). По содержанию кремнезема, окислов калия и натрия они тяготеют к делленитам, т.е. занимают промежуточное положение между типичными липаритами и дацитами.

Литокристаллокластические туфы липаритов - серые, зеленовато-серые ясно слоистые тонкослоистые, состоят из остроугольных обломков кварца, калишпата, вулканического стекла; цемент заполнения пор, пепловый, мелкоалевритовый.

ПАЛЕОГЕНОВАЯ СИСТЕМА (Р?)

Покровы базальтов и андезито-базальтов условно палеогенового возраста закартированы на небольшой площади в центральной части Усть-Каховской и вулкано-тектонической структуры, где они согласно перекрывают образования нааханской свиты. Палеогеновые покровы представлены однообразной толщей темно-серых, нередко почти черных базальтов и андезито-базальтов, в основании которой встречаются тонкие (0,5-1 м) прослой темно-серых, бурых литокластических псамитовых туфов основного состава, переполненных углефицированным растительным детритом.

Базальты - афирные или мелкопорфировые с интерсертальной основной массой. Вкраепленники (5-10%) - лабрадор № 58-65 и моноклинный пироксен. В андезито-базальтах присутствует также роговая обманка. Основная масса состоит из микролитов плагиоклаза, промежутки между которыми заполнены стекловатым базисом и мелкими зернами пироксена. Аксессорные минералы - циркон, апатит, юльменит. Химический состав базальтов приведен в табл. I (анализ 7). Абсолютный возраст базальтов 22 млн. лет (табл. 2, пробы 187).

Мощность покровов базальтов в рассматриваемом районе 250-300 м.

ЧЕТВЕРТИЧНАЯ СИСТЕМА

На территории широко распространены четвертичные отложения различного генезиса. Они представлены верхнечетвертичными речными, озерно-болотными и ледниковыми отложениями, а также современными речными и делювиально-солифлюкционными образованиями.

Верхнечетвертичные отложения

Ледниковые аллювиальные отложения эпохи зирянской стадии оледенения (Q^2_{III}) слагают речные террасы высотой 10-13 м, широко развитые в основных речных долинах района. Они представлены хорошо окатанными галечниками со слоями и линзами песка и суглинков; среди галечной фракции резко преобладают обломки садочных пород - аргиллитов, алевролитов, песчаников. Спорово-пыльцевые спектры этих отложений содержат большое количество пыльцы недревесных и споровых растений, составляющих в сумме от 73 до 96% общего количества выявленных миоспор. В разнообразно представленной группе травянистых растений (59,9-80,3%) больше половины пыльцы приходится на долю злаков; из других представителей этой группы наиболее многочисленны осоки, гречишные, крестоцветные, лютиковые, сложноцветные (в том числе полынь). Группа спор состоит из плаунка сибирского, зеленого мха и коchedыжников папоротников. Малочисленная группа древовидно-кустарниковых растений (3,8-26,6%) почти нацело представлена пыльцой кустарниковых берес, главным образом, берески тополей. В единичных зернах встречается пыльца стланника, ивы, древовидной бересин, ольховника. Реконструируемый по этим спектрам растительный покров характеризует холодный и сухой резко континентальный климат, отвечающий максимальной фазе позднечетвертичного оледенения.

Наиболее полный разрез отложений этого возраста наблюдается в борту террасы III уровня на левобережье Кирчана [23] ^{x)}:

^{x)} Разрезы четвертичных отложений приведены сверху вниз. Мощность слоев дана в метрах.

I. Почвенно-растительный слой	0,2
2. Галечник с суглинком (до 30%) коричневато-серого цвета	0,8
3. Слой мелкой плоской гальки и гравия с примесью серого разнозернистого песка	0,5
4. Галечник с суглинком (25%) серого цвета	2,1
5. Галечник с гравием и крупнозернистым песком (до 30-35%) и единичными небольшими валунами	0,4
6. Галечник с суглинком и супесью серого цвета	1,7
7. Галечник с небольшими линзочками крупнозернистого песка и глины коричневато-серого цвета	0,8
8. Галечник с суглинком серого цвета	I

Слоистость всей толщи аллювия подчеркивается закономерным расположением галек, ориентированных под небольшим углом к по-дошве слоя, четко выраженным увеличением количества материала мелких фракций от подошвы слоя к его кровле. Общая мощность по разрезу 7,5 м.

Максимальная мощность аллювиальных верхнечетвертичных отложений эпохи предпоследнего оледенения, вероятно, не превышает 10-15 м.

Ледниковые отложения этого возраста условно выделены в долине руч. Ромэн. Они слагают пологонаклонную поверхность с характерным мелкоколмисто-западинным рельефом, возвышающуюся на 10-15 м над дном долины ручья. Отложения представлены полуокатанными валунами и глыбами лишиаритов, достигающими 0,5-1 м в поперечнике, погруженными в серые, буроватые суглинки с примесью щебня. Отсутствие в них каких-либо следов слоистости и холмисто-западинный рельеф поверхности отложений, не характерный для проловильных образований, позволяют предполагать их ледниковое происхождение. Ориентировочная мощность ледниковых образований 15-20 м.

Аллювиальные и озерно-болотные отложения эпохи каргинского межледниковых (Q^3_{III}) слагают речные террасы высотой 5-7 м в долинах Балыгчана, Джагина, Кирчана, Кросса, Описки. Они представлены галечниками с примесью гравия, разнозернистого песка и суглинка. Спорово-пыльцевые спектры этих отложений, при близком

видовом составе с ранее рассмотренными, свидетельствуют о значительном потеплении климата, что нашло отражение в их количественной характеристики. Ведущей во всех спектрах становится пыльца древовидно-кустарниковой группы; характерно увеличение количества пыльцы кустарниковой ольхи, древовидной ольхи, древовидной бересклета, сосны подрода *Narboxylon* и появление пыльцы лиственницы. В споровой части спектров доминируют споры сфагнового мха; в кустарниково-травянистой группе увеличилась роль вересковоцветных. По заключению В.Е.Тереховой и Е.И.Распоповой, подобные спорово-пыльцевые спектры характерны для лесостундровых ассоциаций с участием лиственницы, древесных бересклетов, ольхи и зарослями стланника, произраставших в каргинском межледниковые.

Наиболее полно отложения этого возраста представлены в расчистке, в борту террасы II уровня на левобережье Кирчана [23]; здесь залегают:

1. Почвенно-растительный слой	0,2
2. Глина коричневато-серого цвета с линзочками мелкой гальки с песком	1,3
3. Мелкий галечник с суглинком бурого цвета	0,4
4. Галечник с гравийно-песчаными и суглинистыми линзами	1,1
5. Галечник с примесью песка и суглинка	1,5
Суммарная мощность	4,5 м.

Максимальная мощность аллювиальных отложений этого возраста не превышает 10 м. Одновозрастные с ними озерно-болотные отложения слагают верхние части террас высотой 5-6 м в низовых Джалгина и в долине Балыгчана. Они представлены темно-бурыми прерывисто-слоистыми торфами и суглинками. Видимая мощность озерно-болотных отложений, обнаружившихся в борту террасы на правобережье Джалгина, равна 4 м.

Современные отложения (Q_{IY})

Аллювиальные отложения этого возраста слагают низкие речные террасы и поймы всех водотоков района. Они представлены хорошо окатанными галечниками с небольшим количеством валунов, гравием, разнозернистыми песками и супеями, залегающими в виде

непротяженных линз в толще галечников. Повсеместно они содержат спорово-пыльцевые спектры, отвечающие современной растительной ассоциации. Мощность современных аллювиальных отложений находится в прямой зависимости от величины водотока и, по данным шурфовых работ и бурения в прилегающих районах [8,10], колеблется от 5 до 20 м.

Современные делювиально-солифлюкционные отложения широко распространены на левобережье Кирчана и в долине руч. Роман, где они слагают пологие подножия склонов. Они представлены щебнем и мелкими глыбами местных пород, погруженными в сурьи суглинки и супеси. Ориентировочная мощность делювиально-солифлюкционных отложений 10-15 м.

Современные элювиальные и элювиально-делювиальные отложения тонким чехлом покрывают водораздельные пространства и, в зависимости от ширины водоразделов и состава коренных пород, представлены супесями, дресвой, щебнем и глыбами. Мощность их не превышает 3,5 м.

Делювиальные образования покрывают склоны долин и представлены, в основном, щебнем и мелкими глыбами, погруженными в связующую супесчаную массу; мощность их колеблется от 2-3 до 10-15 м.

ИНТРУЗИВНЫЕ ОБРАЗОВАНИЯ

Интузивные образования в рассматриваемом районе представлены субвуликаническими телами, малыми интрузиями и дайками основного, среднего и, главным образом, кислого состава. По времени формирования среди них выделены раннемеловые, позднемеловые и палеогеновые.

РАННЕМЕЛОВЫЕ МАЛЫЕ ИНТРУЗИИ И ДАЙКИ

На территории к раннему мелу условно отнесен единый ряд магматических пород от диабазов до гранит-порфиров, слагающих небольшие штокообразные тела и дайки преимущественно в западной части района. Раннемеловые интрузионные породы в отличие от позднемеловых обычно сильно изменены: их галька (диабазы, диориты,

гранит-порфиры) обнаружена в составе конгломератов омсукчанской свиты. Эти малые интрузии сопоставляются с раннемезовым вулканизмом, проявившимся в Балыччано-Сугойском прогибе. Их абсолютный возраст 117-136 млн. лет. На листе Р-56-Х подобные дайки датированы поздней врой, так как предполагалось, что такой возраст имеет все дайки колымского добоголитового комплекса. Следовательно, обоснование возраста малых интрузий требует дополнительных исследований.

Диабазы (βK_1) слагают многочисленные дайки на правобережье Лхагына и в макруречье Олиски и Каховки. Они представляют собой тела мощностью до 20 м, длиной от первых сотен метров до 6-7 км; нередко дайки образуют кулисы длиной 5-8 км. Направление даек близкое к меридиональному, падение их вертикальное. На контактах наиболее крупных даек выщелоченные осадочные породы уплотнены; к kontaktам даек часто приурочены кварцевые жилы небольшой мощности. К дайкам диабазов приурочены положительные аномалии магнитного поля напряженностью 300-500 гамм.

Диабазы тонкозернистые диабазовой структуры, сложены андезин-лабрадором 48-57 (60-80%), пироксеном (15-30%), рудным минералом (до 5%), единичными ксеноморфными зернами кварца. Плагиоклаз и пироксен в значительной мере замещены эпимагматическими минералами. Химический анализ диабазов из бассейна руч. Зеленый приведен в табл.3 (проба II25). Этот образец с известным допущением сравним с кварцевыми диабазами (контакт-диабазами).

Габбро-диориты ($\nu\delta K_1$) образуют две небольшие дайки на правобережье руч. Находка и в низовьях руч. Роман. Мощность их 3 и 10 м, длина около 1 км. Габбро-диориты - темно-серые мелкозернистые, сломлены плагиоклазом (60%), пироксеном (амбитом?) (30%), рудным минералом (5-10%), кварцем (1-5%). Вторичные минералы - хлорит, иллингит, эпидот, соссюрит; акцессорные - апатит и циркон.

Андезиты ($d K_1$) установлены на левобережье Балыччана. Они слагают три дайки субширотного направления мощностью 5-15 м и длиной 1-2 км. Это порфиритные породы зеленовато-серого цвета; вкрапленники (15%, до 30%) - плагиоклаз (почти целиком замещенный карбонатом, соссюритом и хлоритом), роговая обманка и биотит, по которым интенсивно развиты хлорит и эпидот. Основная масса представляет собой беспорядочно зернистый агрегат кварц-альбитового состава, иногда угадываются элементы пилотакситовой и интерсертальной структур.

Диоритовые порфириты ($\delta\gamma K_1$) слагают шток площадью 0,5 км² на правобережье руч. Азгай и довольно большое количество даек в бассейнах ручьев Майский и Кросс. Простирание даек широтное и северо-восточное, мощность от 1-2 до 20 м, длина 0,5-1,5 км. Осадочные породы у kontaktов штока слабо ороговикованы, вблизи даек контактные изменения выражены в осветлении пород. Диоритовые порфириты - темно-серые, зеленоватые порфиритные с микродиоритовой основной массой. Вкрапленники (10-20%) - плагиоклаз, роговая обманка, биотит с поперечником 1-6 мм. Сильно карбонатизированная и хлоритизированная основная масса состоит из плагиоклаза, кварца и роговой обманки. Химический состав диоритовых порфиритов приведен в табл.3 (проба I478).

Диориты (δK_1) слагают единичные дайки в северной части района, мощность их не превышает 5 м, длина 1 км. Простирание даек субмеридиональное. Диориты - темно-серые, зеленоватые мелкозернистые диоритовой структуры, состоят из андезина (70-85%), кварца (5%), роговой обманки и биотита (10-25%), единичных зерен калиннатового полевого шата. Плагиоклаз иногда альбитизирован, по темноцветным минералам широко развиты хлорит и эпидот. Отмечены переходы к кварцевым диоритам с содержанием кварца до 15%.

Гранодиориты ($\gamma\delta K_1$) образуют два небольших штока на горах Талай и Гракх. На г. Талай обнажена апикальная часть штока; в современном эрозионном срезе гранодиориты обнажены в двух выходах сложной формы общей площадью 0,15 км². Контактовые поверхности под углом 60-70° падают в сторону вмещающих пород; расширение штока на глубине подтверждается характером аномалии магнитного поля и наличием довольно широкой (0,5-1 км) зоны kontaktовых роговиков. Шток сложен габбро-диоритами, кварцевыми диоритами и гранодиоритами, между которыми наблюдаются постепенные переходы. Габбро-диориты и кварцевые диориты тяготеют к эндоконтактовой зоне и имеют, по-видимому, гибридное происхождение. Абсолютный возраст габбро-диоритов г. Талай 121,5 млн. лет (табл.2, проба I429).

Шток гранодиоритов г. Гракх площадью около 2 км² угловатых очертаний, слегка вытянут в субширотном направлении; северный kontakt слабомезавистый, kontaktовая плоскость наклонена под углом 80° в сторону штока; южный kontakt ровный, несколько более пологий (65-75°). С запада шток ограничен долиной Балыччана, восточный kontakt имеет в плане зубчатую форму, здесь от

штока отходят многочисленные дайки гранодиоритов широтного направления длиной до 5 км, мощностью 3-10 м. Надение даек иное под углами 75-80°. Вмещающие штоки песчаники октябринской свиты у его контакта превращены в кварц-биотитовые роговики. Ширина контактового ореола 200-400 м. С штоками гранодиоритов связаны довольно многочисленные кварцевые жилы. Абсолютный возраст гранодиоритов г.Гракх I35-I39 млн. лет (табл.2, проба I479).

На левобережье Кирчана и в бассейне руч.Майский гранодиориты образуют несколько широтных даек длиной до 2,5 км и мощностью 5-15 м. Гранодиориты - серые и светло-серые мелковзернистые, призматически-зернистой структуры. Состав их: андезин № 4I-45 (40,4-46,3%), кварц (I3,3-I9,3%), биотит и роговая обманка (35,3-16,6%), калинитровый полевой шпат (II,0-II7,8%), присутствуют также аугит (?), апатит, циркон, рудный минерал. Эпимагматические минералы - серицит и хлорит. Габбро-диориты из эндоконтакта штока г.Талай сложены андезином № 45 (67,7%), биотитом № 16 (3%), роговой обманкой (10,9%), кварцем (4,4%) и калинитровым полевым шпатом (0,7%). Химический состав гранодиоритов (проба I479) и габбро-диоритов (проба I429) приведен в табл.3.

Гранит-порфиры ($\gamma\pi K_I$) слагают небольшие штоки площадью не более 0,3 км² и ряд даек на левобережье Кирчана и в бассейнах ручьев Азгай и Дружба. Дайки субширотного простирания длиной 0,5-3,5 км имеют мощность от 2 до 12 м. Гранодиорит-порфиры - серые, кремовые порфировидные с мелковзернистой основной массой. Вкрапленники (20-25%) - плагиоклаз, кварц и калинитровый полевой шпат, редко биотит размером до 2-4 мм. Вкрапленники плагиоклаза альбитизированы, иногда почти полностью замещены серицитом и карбонатом. Аллотриморфозернистая основная масса сложена альбитизированным плагиоклазом (50%), кварцем (30%), калинитровым полевым шпатом (10-15%), биотитом (5-10%). Химический состав гранодиорит-порфиров приведен в табл.2 (пробы 2063, 2290-5).

Гранит-порфиры ($\gamma\pi K_I$) слагают крупные трещинные тела на левобережье руч.Ромэн, в бассейне руч.Майский и на правобережье Кирчана, а также большое количество даек. От позднеюрских малых интрузий сходного состава они отличаются отсутствием следов золотого оруденения. Абсолютный возраст гранит-порфиров II7 млн. лет (табл.2, проба I292).

Таблица 2

Абсолютный возраст магматических пород, определенный калий-аргоновым методом

Номер на карте	Номер пробы	Место взятия пробы	Название анализированной породы	Абсолютный возраст, млн. лет	K, %	$A^{40}K^{40}$, г/г	$A^{40}K^{40}/A^{40}Ca^{40}$
I	I292	г. Трибуна	Гранит-порфир	II7	3,45	0,0158	0,00460
2	III5	Истоки руч. Белка	Липарит	80	4,60	0,0143	0,00311
3	I27	Правобережье руч. Зеленый	Липарит	98	4,33	0,0167	0,00386
4	I479	г. Гракх	Гранодиорит	I39±5 I35	2,42 2,42	0,0131 0,0127	0,00543 0,00525
5	II97	Истоки руч. Безымянный	Игнimbрит	85	3,24	0,0108	0,00329
6	I87	Правый склон долины Джагана, устья Каюковки	Базальт	22	1,27	0,00106	0,00083
7	I429	г. Талай	Габбро-диорит	I2I±5	1,43	0,00681	0,00476
8	203	Левобережье Каюковки	Габбро	30	3,32	0,00378	0,00114

Коллекция М.Б.Лапина [23]. Анализы выполнены в лаборатории петрологии и геохимии магматических формаций Северо-восточного комплексного научно-исследовательского института ДВНИЦ СВ АН СССР А.П. Миловым.

На левобережье руч. Ромэн (г. Трибуна) гранит-порфиры слагают тело неправильно-серповидной формы, вытянутое в субширотном направлении. В современном эрозионном срезе длина его около 7 км, ширина до 1 км. Северная и южная контактные поверхности ровные, погружающиеся на 15° под углами 60–80°. Вмещающие породы маратской толщи на контактах с телом гранит-порфиров слабо уплотнены, окварцовены и биотитизированы. Ширина зоны контактных изменений около 150 м. Вблизи тела на левобережье руч. Ромэн и на прилегающей части маадуречья с р. Лягали обособляется свита даек гранит-порфиров длиной от 1 до 10 км и мощностью от 3–5 до 60 м. Простирание даек северо-восточное, совпадающее с направлением складчатых структур. Гранит-порфиры рассечены дайками позднемезоловых диоритов и многочисленными кварцевыми и кварц-кальцитовыми жилами, с которыми связано рудопроявление серебра. В магнитном поле тело гранит-порфиров отражено положительной аномалией небольшой напряженности.

В западной части района гранит-порфиры слагают более или менее крупные трещинные тела и сгруппированные вокруг них дайки вблизи устья руч. Майский, в бассейне руч. Дикий и на правобережье Кирчана. В плане форма тел серповидная или линзовидная, максимальная длина 12 км, мощность 100–400 м. Контактовые плоскости прямые или с небольшими апофизами, вертикальные или круто наклонные. Тела вытянуты в северо-восточном и широтном направлениях; по отношению к структурам вмещающих пород они являются согласными или острогекущими. В магнитном поле они не выражены. Осадочные породы у контактов трещинных тел слабо уплотнены, в них наблюдаются новообразования кварца, биотита и хлорита. Дайки гранит-порфиров в западной части района имеют мощность не более 5–10 м, длина их от 200 м до 1,5 км.

Гранит-порфиры – светло-серые, кремовые порфировидные с тонкозернистой основной массой. Вкрашенники (5–10%) – калинатровый полевой шпат, кварц и андезин, поперечник их не превышает 1–2 мм. Основная масса имеет аллотриоморфнозернистую структуру и состоит из кварца и полевых шпатов. Темнодревесные минералы представлены единичными зернами биотита, почти нацело замененного мусковитом. Аксессорные минералы – апатит, циркон, редко рутил и ортит. Эпимагматические минералы – серцинит, мусковит, эпидот и хлорит. Химический состав гранит-порфиров приведен в табл. 3 (пробы 28, 498, I292, I378, I433). В своем большинстве это богатые кремнеземом породы (вероятно, за счет более позднего окварцевания) с весьма умеренным содержанием щелочей, соединений железа, окиси магния и кальция.

ПОЗДНЕМЕЛОВЫЕ СУБВУЛКАНИЧЕСКИЕ ТЕЛА

Липариты (λK_2) слагают крупное (площадью около 70 км^2) субвулканическое тело, полукольцом обрамляющее с запада Арылахскую вулкано-тектоническую структуру. Вмещающими породами являются липариты и игнimbриты аскольдинской и наяханская свит; у контактов субвулканического тела в полосе шириной 5–10 м они перекристаллизованы с образованием лейидогранобластовых структур. В свою очередь, липариты прорваны дайками палеогеновых базальтов. О позднемеловом возрасте субвулканических липаритов свидетельствует их тесная пространственная связь с вулканитами наяханской свиты. Границы тела неровные с резкими бухтообразными зализами и выступами. Контактовые плоскости наклонены к центру Арылахской структуры под углами 30–70°. На юго-востоке тело выходит за пределы площади листа. Вблизи контактов липариты содержат ксенолиты вмещающих вулканитов аскольдинской свиты и осадочных пород, залегающих под вулканогенной толщей. В северо-восточной части тела липариты гидротермально изменены – хлоритизированы и эпидотизированы. В экзоконтактовой зоне в липаритах аскольдинской свиты наблюдаются зоны каолинизации и гидротермальные жилья, с которыми связаны рудопроявления серебра. Абсолютный возраст липаритов 80–98 млн. лет (табл. 2, пробы III5, I27).

Липариты – серые, зеленоватые очень плотные порфировые. Фенокристаллы (10–50%) сложены микроклином, кварцем и кислым андезином. Размер вкраченников увеличивается от экзоконтакта к центральным частям тела от 1–2 до 6 мм. Основная масса аллотриоморфнозернистая состоит из кварца, калишпата и альбита; иногда отмечается микросферолитовая структура. Вторичные минералы – серцинит, карбонат, хлорит, эпидот, аксессорные – циркон и апатит. По химическому составу они отличаются от средних (по Дели) липаритов заметно большим содержанием щелочей (табл. 3, пробы 93-А, I27, III5). Два из трех представленных анализов (пробы 93-А, III5) по содержанию щелочей и кремнезема тяготеют к трахилишаритам. Эти липариты подобно наяханским вулканитам имеют умеренно кислый состав, для них при исчезающем малом содержании магнезии в отличие от липаритов аскольдинской свиты характерно повышенное содержание окиси кальция. Однако по содержанию щелочных металлов позднемеловые субвулканические тела больше сходны с аскольдинскими эффузивами.

Таблица 3

Химический состав интрузивных пород. вес. %

Оксиды	Номера анализов										
	1	2	3	4	5	6	7	8	9	10	11
	28	498	1292	1378	1433	424	1479	2063	2290-Б	1429	1478
S1O ₂	74,55	77,48	75,56	75,35	73,85	63,07	65,06	64,53	65,36	55,21	57,62
TlO ₂	0,05	0,01	0,03	0,04	0,03	0,46	0,52	0,65	0,33	1,08	0,79
Al ₂ O ₃	14,49	13,50	14,03	13,73	14,87	16,12	15,20	15,40	15,06	17,49	17,69
Fe ₂ O ₃	0,61	0,40	0,52	0,97	0,60	0,80	0,48	1,11	0,26	1,89	1,42
FeO	0,52	0,86	0,60	0,86	0,68	3,68	4,15	4,82	3,79	6,44	5,93
MnO	0,03	0,01	0,04	0,05	0,05	0,09	0,10	0,14	0,11	0,19	0,09
CaO	0,70	0,11	0,35	0,91	1,28	3,28	4,38	3,05	3,43	6,05	5,69
MgO	0,05	0,13	0,13	0,13	0,13	1,15	2,46	2,82	1,15	3,12	2,73
Na ₂ O	3,92	4,43	3,44	3,55	3,41	3,28	2,71	2,43	3,28	3,35	3,21
K ₂ O	4,04	1,93	3,65	2,14	2,36	2,85	3,28	2,32	2,05	1,93	2,11
P ₂ O ₅	0,05	0,04	0,08	0,05	0,04	0,16	0,12	0,19	0,11	0,26	0,18
-H ₂ O	0,06	0,06	0,04	0,07	0,09	0,12	0,05	0,08	0,12	0,09	0,12
+R ₂ O	0,79	0,05	1,09	0,02	-	0,28	0,41	2,22	0,30	0,62	0,53
CO ₂	0,40	-	0,13	-	97,87 ^x	97,39 ^x	95,34 ^x	98,92 ^x	99,76	95,35 ^x	97,72 ^x
Сульф.	100,21	98,93 ^x	99,69	1,14	2,03	2,49	4,81	1,16	1,99	4,68	2,15
п.п.п.	1,14	0,99	1,14	1,14	1,14	2,03	2,49	4,81	1,16	1,99	2,34

Оксиды	Номера анализов										
	12	13	14	15	16	17	18	19	20	21	22
	II25	93-А	127	1115	1291	72	42	194	203	216	II228
S1O ₂	53,37	67,92	72,36	69,43	55,80	54,20	52,50	51,22	52,03	74,54	78,23
TlO ₂	1,85	0,48	0,25	0,39	0,76	0,78	2,05	1,57	0,92	0,05	0,09
Al ₂ O ₃	13,69	16,06	14,22	14,63	16,35	19,00	14,08	17,82	14,91	14,15	11,83
Fe ₂ O ₃	4,99	0,46	1,03	0,82	0,85	2,13	3,72	5,72	1,88	1,44	0,89
FeO	9,31	2,81	1,40	2,49	6,66	5,06	9,71	4,38	7,43	0,68	0,72
MnO	0,27	0,07	0,04	0,06	0,15	0,26	0,35	0,16	0,19	0,07	0,03
CaO	5,83	1,48	1,05	1,22	4,62	7,06	6,02	7,85	5,48	1,83	0,17
MgO	1,82	0,38	Cl.	0,31	3,01	2,19	2,82	3,45	3,82	0,06	0,13
Na ₂ O	2,94	3,44	3,15	3,24	4,06	4,03	2,90	3,34	3,96	3,18	1,94
K ₂ O	2,12	4,65	5,15	5,39	1,55	2,20	2,02	1,45	3,52	1,89	4,33
P ₂ O ₅	0,92	0,23	0,10	0,23	0,25	0,47	0,95	0,96	0,52	0,06	0,07
-H ₂ O	0,60	0,13	0,13	0,15	0,09	0,29	0,58	0,96	0,07	0,24	0,15
+R ₂ O	2,00	1,27	0,75	0,78	2,66	1,96	1,80	1,42	3,11	1,66	1,05
CO ₂	-	0,22	-	0,53	2,82	-	0,31	-	1,49	1,24	-
Сульф.	99,71	99,60	99,63	99,67	99,63	99,63	99,81	99,85	99,69	100,09	99,63
п.п.п.	1,59	1,38	0,78	1,27	4,69	2,00	1,88	2,04	3,69	3,04	1,34

x) В анализах 2, 4-7, 9-II в расчет включались потери после прокаливания.

Числовые характеристики по А.Н.Завариному
Продолжение табл.3

Ознаки	I	2	3	4	5	6	7	8	9	10	II
в	13,9	12,0	12,2	10,3	10,5	11,9	11,0	8,5	10,5	10,8	10,7
с	0,8	1,4	0,4	1,0	1,5	4,2	4,8	3,7	4,3	7,2	7,2
б	3,9	2,3	6,0	7,0	7,2	8,7	9,3	14,6	8,4	14,8	12,3
г	81,4	84,3	81,4	81,7	80,8	75,2	74,9	73,2	76,8	67,2	69,8
е ¹	75,0	45,7	80,6	72,9	79,2	25,4	-	29,9	20,1	-	-
г ¹	25,0	51,5	15,1	23,4	17,2	50,9	48,2	38,3	55,8	57,2	59,1
ш ¹	-	2,8	4,3	3,7	3,6	23,7	45,2	31,8	24,1	37,9	39,8
с ¹	-	-	-	-	-	-	6,6	-	4,9	1,1	-
п	59,6	77,7	59,0	71,7	69,2	63,5	55,7	62,2	71,1	73,2	70,3
ч	13,3	17,1	6,45	11,2	7,3	8,2	4,4	6,5	2,5	11,8	10,5
т	-	-	-	-	-	0,6	0,1	0,8	0,3	1,5	1,0
о	34,2	43,2	38,0	41,8	39,1	22,4	23,1	25,7	28,3	5,3	11,0
а:с	17,3	8,6	30,5	10,3	7,0	2,8	2,3	2,3	2,4	1,5	1,5

42

	I2	I3	I4	I5	I6	I7	I8	I9	I0	II	22
а	10,0	14,2	14,0	14,8	12,0	12,8	9,7	10,2	13,9	9,5	10,1
с	4,6	1,8	1,3	1,4	5,8	7,2	5,0	7,7	3,1	2,2	0,2
б	20,0	7,6	4,0	5,3	13,4	20,9	18,2	22,4	6,7	5,5	-
г	65,4	76,4	80,7	78,5	68,8	66,6	64,4	63,9	60,6	81,6	84,2
е ¹	-	52,6	48,3	32,9	-	-	-	-	-	70,9	-
г ¹	70,0	39,5	51,7	58,3	57,9	54,8	63,6	51,8	40,3	29,0	25,6
ш ¹	16,1	7,9	-	8,8	40,5	29,9	23,8	34,5	29,1	2,0	3,5
с ¹	13,9	-	-	-	1,6	15,3	12,6	13,7	30,6	-	-
п	68,3	52,8	48,3	48,0	79,9	73,8	68,3	77,7	63,4	71,8	40,4
ч	22,2	5,3	20,0	12,7	6,0	14,2	15,7	26,5	7,4	18,0	13,9
т	2,6	1,0	0,5	0,4	1,1	1,1	2,8	2,3	1,0	-	0,07
о	6,2	22,6	32,1	26,0	7,8	0,4	4,4	0,3	9,7	42,0	48,0
а:с	2,2	7,9	-10,8	10,6	2,0	1,8	1,9	1,3	4,5	4,3	50,5

43

Ранненемеловые малые интузии и дайки гранит-порфиров: 28 - г. Трибуна; 498 - левобережье руч. Богатырь; 1292 - г. Трибуна; 1378 - правобережье руч. Чайский, у устья; 1433 - правобережье Мирчана; 424 - гранит-порфир, левобережье Кирюна; 1479 - гранит-порфир, левобережье руч. Донжун; 2663 - гранит-порфир, правобережье руч. Донжун; 1429 - габбро-диорит, г. Талай; 1478 - диоритовый порфир г. Гракс; 1125 - граваз, правобережье руч. Загри. Поздненемеловые субуланнические тела липаритов: 93,4 - источники руч. Зеленый; 127 - габбро-диорит, г. Трибуна; 72 - габбро, левобережье руч. Ромэн, у устья; 194 - базальт, правобережье Лхагтина; 203 - зессекст, липарит, верховье руч. Тихий; 1228 - липарит, правобережье Каховки. Коллекция М.Б.Данина [23].
аналогичны А.П.Бурмистрову и Н.В.Кондратину.

Невадиты ($\lambda\pi K_2$) слагают два небольших штокообразных тела площадью 0,6 и 0,2 км² в верховых руч. Курсант и на левобережье руч. Тихий. Они прорывают алевролиты мемчанской толщи, которые на контакте с невадитами в полосе шириной 20–60 м превращены в кварц-биотитовые роговики. Тела невадитов имеют в плане округлую форму; контактные поверхности их ровные, вертикальные.

Невадиты – серые, розоватые крупнопорфировые; состоят на 65–75% объема из крупных порфировых выделений калинитового полевого шпата, кварца и альбит-олигоклаза; поперечник вкраплеников достигает 6–10 мм. Гипидиоморфозернистая основная масса состоит из кварц-полевошпатового агрегата с небольшим количеством биотита. Постмагматические изменения незначительны, минералы – новообразования представлены серицитом, хлоритом и эпиломом.

ПОЗДНЕМЕЛОВЫЕ ДАЙКИ И ПЛАСТОВЫЕ ЗАЛЕГАНИЯ

Распространены в восточной части района и представлены сечущими и согласными залежами диоритов (δK_2) и диоритовых порфиритов ($\delta\pi K_2$), прорывающих и слабо метаморфизующих юрские и позднемеловые осадочные породы и раннемеловые гранит-порфиры. По данным С.И. Билалова [11], на соседнем листе дайки диоритовых порфиритов являются корнями покровов андезитов таватумской свиты позднемелового возраста.

Диориты, иногда кварцодержащие, слагают несколько субмеридиональных даек длиной 0,5–1 км и мощностью 5–20 м. Вмещающими их породами являются юрские осадочные породы и раннемеловые гранит-порфиры. Они зеленовато-серые мелковернистые диоритовой структуры, сломлены андезитом № 39–43 (65–80%), роговой обманкой (15–20%), кварцем (5–10%), скотитом (до 5%). Их химический состав приведен в табл.3 (проба I291).

Диоритовые порфириты образуют многочисленные пологозалегающие пластовые залежи среди отложений омсукчанской свиты. Мощность их колеблется от 5 до 30 м, длина – от 1 до 5 км.

В отдельных случаях залежи объединены перемычками в сложную многостенную постройку. Нередко отпрепарированные денудаци-

ей пластовые залежи бронируют рельеф на площади равной 0,2–0,5 км². Вмещающие осадочные породы у контактов даек слабо осветлены и уплотнены.

Диоритовые порфириты серые, зеленовато-серые порфировидные. Вкраплениники (30–40%) – андезит № 34–35, роговая обманка и редко кварц. Поперечник фенокристаллов колеблется от 2–3 мм до 2 см. Гипидиоморфозернистая основная масса состоит из плагиоклаза, роговой обманки, кварца. Аксессорные – сфеин, апатит и циркон. В подошве наиболее крупных залежей породы имеют более основной состав; в них увеличивается количество цветных минералов (до 30–35%), появляется пироксен. Химический состав таких разновидностей пород (табл.3, проба 72) приближается к щелочным габбро.

ПАЛЕОГЕННЫЕ МАЛЫЕ ИНТРУЗИИ И ДАЙКИ

К этой группе отнесены габбро (γ P), базальты (β P) и липариты (λ P), образующие небольшие штоки и дайки в юго-восточной части района. Они прорывают отложения верхоянского комплекса и позднемеловые вулканиты наяханская свиты. Дайки базальтов, по-видимому, являются корнями палеогеновых покровов базальтов. Абсолютный возраст основных пород этой группы 30–22 млн. лет (табл.2, пробы 203, I87).

Габбро слагают два штока площадью 1,5–2 км² в бассейне Каховки и на правобережье Олиски, контактные поверхности штоков слабовы年之листые, круто погружающиеся в сторону вмещающих пород. В верховые руч. Зеленый и вблизи устья руч. Ромэн встречаются также дайки габбро длиной 0,5–1,5 км и мощностью 5–10 м. Простижение их северо-восточное, падение вертикальное. Габбро темно-серые поликристаллические мелковернистые состоят из лабрадора № 59–66 (55–70%), моноклинного (15–35%), ромбического (5–15%) пироксена, рудного минерала (до 5%), кварца (2–3%). Аксессорные минералы – апатит и циркон, вторичные – соссуслит, уралит, хлорит. По содержанию главнейших окислов один из анализированных образцов (табл.3, проба 42) близок к габбро, второй (табл.3, проба 203) сходен с эссекситами.

Базальты образуют большое количество даек в бассейнах Каховки и руч. Ромэн. Простижение даек широтное или северо-вост-

точное, падение кроткое до вертикального, длина достигает 1,5-3 км, мощность 3-10 м. Базальты темно-серые, черные тонкосернистые или порфировые с интерсертальной основной массой, состоят из плагиоклаза (80-85%) и моноклинного пироксена. Редкие вкрапленники сложены лабрадор-биотитом # 63-74, реже моноклинным пироксеном; поперечник их не более 1-1,5 мм. Аксессорные - апатит, циркон, магнетит, вторичные - хлорит, карбонат и эпидот.

Липариты слагают многочисленные дайки, рассекающие толщу отложений верхненемаловских вулканитов наяханской свиты в юго-восточной части района. Простирание их северо-восточное, падение вертикальное или кроткое ($70-80^{\circ}$) на северо-запад. Мощность даек 6-15 м, длина от первых сотен метров до 5 км. Липариты - светло-серые, желтоватые редкопорфировые с фельзитовой основной массой. Вкрапленники (3-5%) - кварц и ортоклаз с поперечником 0,5-2,5 мм. Вторичные минералы - мусковит и карбонат. Химический состав липаритов приведен в табл. 3 (пробы 216 и 1228).

ТЕКТОНИКА

Рассматриваемый район расположен на юго-восточном фланге Иньяли-Дебинского мегасинклиниория, одного из крупных тектонических элементов Яно-Колымской складчатой области [6]; на юге он граничит с Буюндино-Балыгчанским районом пологих лислокаций [1]. На северо-востоке территории расположена западная часть позднеорогенной синклинальной структуры - Балыгчано-Сугойского прогиба [5]. В тектоническом строении района выделяются два структурных яруса.

Первый структурный ярус образован отложениями триаса и юры, относящимися к верхненемаловскому комплексу. Им сложены основные плиниевые структуры района.

Второй ярус объединяет меловые вулканогенные и угленосные отложения и палеогеновые эффузивы. В нем выделяются два подъяруса. К нижнему относятся вулканогенные породы аскольдинской свиты и угленосная омсукчанская свита, выполняющие Балыгчано-Сугойский прогиб. Верхний подъярус сложен пологозалегающими позднемеловыми и палеогеновыми эффузивами, образующими Конскую лавовую полосу [1]. Между собой структурные ярусы и подъярусы разделены стратиграфическими перерывами и угловыми несогласиями.

Верхнетриасовые и юрские морские терригенные отложения Иньяли-Дебинского мегасинклиниория смыты в систему линейных складок северо-восточного и субширотного направления. В нем выделяются Туснахская антиклинальная и Верхне-Джегдянская синклинальная зоны, протягивающиеся с юга с запада [8]. Каждая из этих зон состоит из системы более мелких складок (рис. I).

Туснахская антиклинальная зона шириной около 30 км занимает северо-западную часть района и сложена верхнетриасовыми и нижне-средненемаловскими отложениями. На территории находится сводовая (центральная) часть антиклинальной зоны и ее юго-восточное крыло. Она состоит из системы узких линейных складок северо-восточного простирания, осевые плоскости которых слегка выгнуты и запрокинуты к югу. Основными структурами в пределах антиклинальной зоны являются Громадинская, Богатырская и Трибунальская антиклинали и разделяющие их Находкинская и Чистая синклинали.

Громадинская антиклиналь расположена на левобережье Балыгчана и сложена верхнетриасовыми и нижненемаловскими отложениями. В пределах рассматриваемого района находится лишь незначительный отрезок структурн. Простирание ее здесь почти широтное, размах крыльев достигает 10-12 км. Углы наклона крыльев антиклинали $30-40^{\circ}$. Сильно развиты мелкие осложняющие складки протяженностью 0,5-2 км и размахом крыльев 150-200 м. Наклон слоев на крыльях мелких складок изредка достигает $50-60^{\circ}$. Характерной особенностью Громадинской антиклинали является развитие продольных сбросов, осложняющих ее северо-западное крыло.

Богатырская и Трибунальская антиклинали представляют собой узкие линейные складки протяженностью 30-50 км и шириной 6-8 км. Простирание их плавно изменяется от восток-северо-восточного у западной рамки листа до север-северо-восточного вблизи северной границы. Углы наклона крыльев антиклиналей варьируют от 30 до 60° ; крылья антиклинали осложнены многочисленными узкими остро-

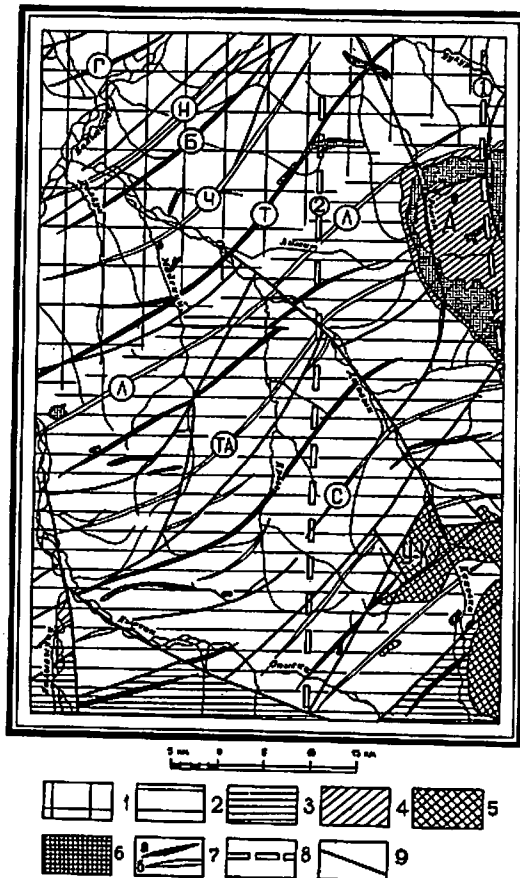


Рис. I. Тектоническая схема

Первый структурный ярус. Ильчи-Лебинокский мегасинклинорий: 1 - Туйнинская антиклинальная зона; 2 - Верхне-Джегдянская синклинальная зона; 3 - Бундино-Балычанский район пологих дислокаций; второй структурный ярус: 4 - нижний подъярус, нижнемеловые вулканогенные и угленосные отложения, выполненные Балычано-Сугобинский прогиб (А - Арылахская вулкано-тектоническая структура); 5 - верхний подъярус, пологолежащие покровы Кенской лавовой полосы (У-К - Усть-Каховская вулкано-тектоническая структура); 6 - малые интрузии и субвулканические тела кислого состава; 7 - складки: а - антиклинальных, б - синклинальных складок (антеклиниали: Г - Громадинская, Б - Богатирская, Т - Трибуинская; синклиниали: Н - Находкинская, Ч - Чистая, Л - Лимитная, ТА - Талайская, С - Сонная); 8 - глубинные разломы, установленные по геофизическим данным (1 - Маянско-Булурский, 2 - Драгинский); 9 - разрывы, установленные по геологическим наблюдениям

ми излами складками протяженностью от первых десятков метров до 5-6 км; наклон крыльев мелких складок обычно 50-60°. Шарнир Богатирской антиклинали не испытывает сколько-нибудь заметных ундуляций, благодаря чему на всем протяжении складки ширина ее остается постоянной. Этого нельзя сказать о шарнире Трибуинской антиклинали, заметно воздымавшейся в юго-западном и северо-восточном направлениях от долины Джагина; это находит отражение в расширении выходов на дневную поверхность раннеирских образований в этих направлениях и обуславливает появление на северо-восточном фланге антиклинали, в приуставной части руч. Ромэн, норийско-ретских (?) отложений. Характерной особенностью Трибуинской антиклинали является опрокинутость осевых плоскостей мелких складок на юго-восток. В береговых обрывах по левобережью Джагина в отложениях маретской свиты передки узкие изоклинальные складки, крылья которых погружаются на северо-запад под углом 60-70°.

Находкинская и Чистая синклиналь протягиваются в северо-восточном направлении на 20-30 км при ширине 5-10 км. Сложен они, в основном, отложениями мамечанской толщи. Находкинская синклиналь имеет несколько меньшие размеры и отличается сравнительно простым внутренним строением. Крылья ее погружаются к центру структуры под углами 25-35°; мелкая осложняющая складчатость представлена симметричными прямыми складками с размахом крыльев от первых десятков метров до 1-2 км и протяженностью от 200-300 м до 6-7 км. Чистая синклиналь имеет более сложное строение; шарнир ее испытывает ундуляции, находящие отражение в по-переменном сужении и расширении выходов отложений мамечанской толщи. Сложность строения синклинали подчеркивается широким развитием мелких наклонных и изоклинальных складок, крылья которых под крутыми (45-60°) углами погружаются на северо-запад. Размах крыльев этих складок варьирует от 30-40 м до 0,5-1 км при длине 0,5-5 км.

Верхне-Джегдянская синклинальная зона состоит из Лимитной, Талайской и Сонной синклиналей, разделенных узкими гребневидными антиклиналями. Лимитная и Талайская синклинали - узкие (8-15 км) отрицательные структуры северо-восточного простирания, протяженностью около 50 км, шарниры их погружаются в северо-восточном направлении, о чем свидетельствует появление в мульдах складок в истоках руч. Ромэн верхнеирских отложений. Для обеих структур характерно кулисообразное расположение довольно протя-

женных (8-15 км) слабо асимметричных синклиналей третьего порядка с размахом крыльев 2-5 км; осевые поверхности складок незначительно наклонены к юго-востоку. Между собой эти синклинали разделены узкими прерывистыми антиклинальными складками.

Сонная синклиналь отличается от вышеописанных меньшей интенсивностью дислокаций. Протяженность ее 35-40 км, ширина достигает 20 км; в мульде складки залегают верхнеюрские отложения. В северо-восточном направлении ширину ее выгибают на две ветви и испытывает незначительное воздействие. Синклиналь осложнена простыми складками нескольких порядков с размахом крыльев от 200-300 м до 2,5 км и протяженностью 2-12 км; углы наклона крыльев не превышают 30-45°. Юго-восточное крыло Сонной синклинали осложнено крупными продольными и поперечными сбросами.

На рассматриваемой территории наблюдается лишь небольшая северная часть Буюндино-Балыгчанского района пологих дислокаций, граничащая с Иньяли-Дебинским мегасинклином по системе фестончатых разломов в целом субширотного простирания. В районе пологих дислокаций на левобережье Кырчана норийско-ретские образования слагают свод широкой (до 10 км) антиклинальной складки широтного направления, наклон слоев на крыльях которой колеблется от 20 до 40°. Более крутые углы падения слоев наблюдаются только вблизи разрывов. В бассейне Каходжи отмечаются мелкие короткие антиклинальные складки, в ядре которых выходят карнийские отложения.

Сложное складчатое строение первого структурного яруса не находит отражения в характере геофизических полей. Магнитное поле ровное, отрицательное, небольшой напряженности (100-350 гамм) (рис.2); такой же характер имеет и поле силы тяжести.

Отложения нижнего подъяруса второго структурного яруса образуют Арылахскую вулкано-тектоническую структуру, расположенную в бассейне Лев.Будура и являющуюся составной частью Балыгчано-Сугойского прогиба [4, II]. Указанная структура сложена раннемеловыми вулканогенными отложениями аскольдинской и терригенно-угленосными отложениями омсукчанской свиты. В плане Арылахская вулкано-тектоническая структура имеет овальные очертания и слабо вытянута в северо-западном направлении; в пределах рассматриваемой территории находится западная часть структуры площадью немногим более 100 км². Слои в пределах Арылахской структуры залегают центриклинально. На западном ее крыле покровы липаритов аскольдинской свиты наклонены на восток под углом от 5-

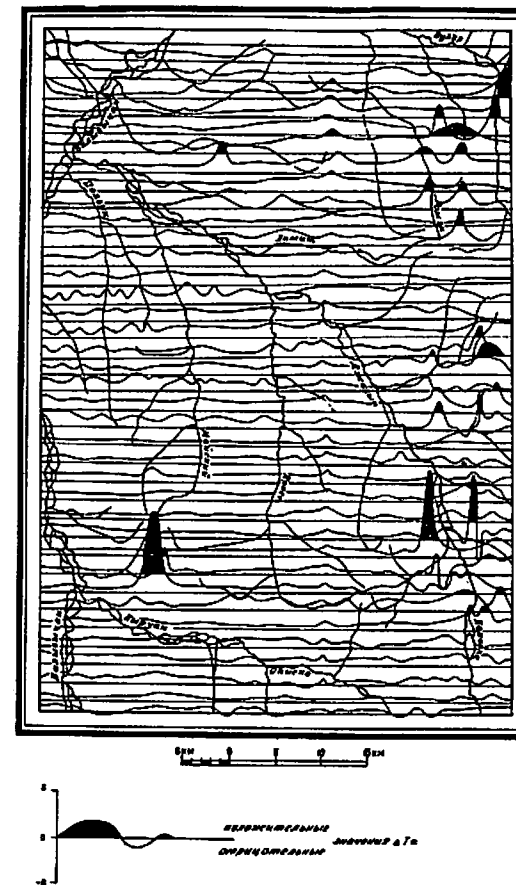


Рис.2. Карта графиков А Т(а)

10 до 30-40°. Внутренняя часть (мульда) Арылахской вулкано-тектонической структуры сложена отложениями омсукчанской свиты, смятыми в овальные пологие брахисинклинали шириной до 2,5 км и длиной до 4 км, с пологими (10-20°) углами наклона слоев на крыльях складок.

Верхнемеловые и палеогеновые покровы верхнего подъяруса второго структурного яруса пользуются незначительным развитием в юго-восточной части района. На правобережье Каховки покровы наяханской свиты полого (под углами 5–15°) наклонены на восток. Более сложное строение имеет Усть-Каховская вулкано-тектоническая структура, расположенная на периферии Кэнской лавовой полосы в бассейне Джагина [4]. Она представляет собой структуру обрушения угловатых в плане очертаний, ограниченную с трех сторон сбросами амплитудой 200–400 м. Размер ее не превышает 10–12 км в поперечнике. В пределах структуры покровы имеют наклон к ее центру под углами от 5 до 25°.

Разрывные нарушения играют значительную роль в геологическом строении района. Среди них выделяются глубинные долгоживущие скрытые разломы, установленные по геофизическим и, частично, геологическим данным, и разломы неглубокого заложения, установленные непосредственно по геологическим наблюдениям и аэрофотоснимкам.

Долгоживущие глубинные скрытые разломы имеют меридиональное направление. Наиболее значительный среди них Маякско-Будурский [12] ограничивает с запада Балыгчано-Сугойский прогиб и устанавливается по линейной зоне высоких градиентов силы тяжести и аномальных значений магнитного поля. На описываемой территории находится его небольшой отрезок; в современном эрозионном срезе разлом проявляется в виде меридиональной полосы, насыщенной разновозрастными дайками, интрузивными телами и полями эф-фузивов. Западнее его расположен Джагинский разлом [12], выраженный в магнитном поле узкой (1–2 км) линейной зоной положительных аномалий напряженность 200–400 гамм. Протяженность разрыва в пределах района около 60 км. Вблизи зоны разлома происходит заметный разворот плакативных структур, сложенных юрскими породами, к северу; восточнее него складки вновь приобретают направление, близкое к широтному. Ижее рассматриваемого района Джагинский разлом (Нельгасиг-Кирчанский, по Ю.Н.Симонову [10]) контролирует размещение крупных интрузивов.

Разрывы неглубокого заложения развиты весьма широко. Основную роль среди них играют продольные по отношению к складчатым структурам разрывы субширотного и северо-восточного направления протяженностью от 10–15 до 60 км; некоторые из них прослеживаются и на территории листов, смежных с запада и севера. Они представляют собой дугообразные в плане вертикальные или крутонаклон-

ные на северо-запад сбросы и сбросо-сдвиги; амплитуда смещения по этим разрывам варьирует от 200–300 м до 1,5 км. Многие из продольных разрывов неоднократно подновлялись, что находит отражение в несовпадении амплитуд смещений в образованиях различных структур ярусов и наличия в зонах этих разрывов разнообразных по составу и времени формирования даек. На местности сбросы и сбросо-сдвиги выражены цепочками депрессий или узких седловин и небольшими уступами; в ряде случаев по ним заложены долины ручьев. Зоны разломов имеют ширину от 50 до 300 м и обычно сопровождаются перемятыми и развалцованными породами, глинками трения, брекчиями с кварцевым и кварц-кальцитовым цементом, зеркалами скольжения. В магнитном поле продольные разрывы не выражены.

Менее развиты поперечные разрывы северо-западного и меридионального направления; по этим разломам заложены долины основных рек района – Балыгчана, Кирчана, Джагина. Они представляют собой сбросы с амплитудой от первых десятков до 200–400 м, мелкие разрывы этой группы в восточной части района залечены протяженными дайками диабазов, кварцевыми и кварц-кальцитовыми гипотермальными жилами.

Основное время образования этих разрывов – поздняя юра и мел. Но некоторые дислоктивные нарушения возникли и развились в кайнозое. Последние развиты в восточной части территории. Они имеют северо-восточное направление и представляют собой крутонаклоненные на северо-запад или вертикальные сбросы и сдвиги амплитудой до 100–150 м; длина их не превышает 8–10 км. На местности они выражены узкими тектоническими бороздами, рвами, четкими уступами. Большинство этих разрывов вымешает дайки палеогеновых базальтов и липаритов.

На правобережье Балыгчана ниже устья Кирчана на радиолокационных снимках намечаются кольцевые структуры диаметром до 10 км, образование которых, возможно, связано с внедрением невскрытых интрузий.

Последовательность тектонических процессов в рассматриваемом районе можно проследить с позднетриасовой эпохи. В это время и до конца позднеюрской эпохи здесь существовал геосинклинальный режим. Неравномерное прогибание земной коры сопровождалось накоплением терригенных глубоководных и в отдельные отрезки времени мелководных отложений. В норийское время и среднеюрскую эпохи происходят неоднократные вспышки взрывного вулканизма. В конце позднеюрской эпохи происходит воздымание тер-

ратории, и установившийся в районе континентальный режим сохранился все последующее время. Инверсия геосинклиналии сопровождалась образованием в толщах геосинклинальных отложений складчатых и разрывных деформаций. В раннемеловую эпоху в результате опускания блока фундамента в восточной части района происходит формирование Балычано-Сугойского прогиба, сопровождающееся мощными излияниями липаритовых лав. В альбское время в пределах прогиба продолжаются нисходящие движения и накапливается толща угленосных отложений. В позднемеловую эпоху в прогибе происходят поднятия, в процессе которых континентальные отложения омсукчанской свиты слабо деформируются; вдоль западного края прогиба образуются крупные продольные разломы, с которыми связана интенсивная позднемеловая вулканическая деятельность. В палеогеновом периоде в восточной части района образовалось большое количество небольших разрывов северо-восточного направления, контролировавших размещение даек различного состава и послуживших каналами для излияния базальтовых лав. Неотектоническими движениями на фоне общего сводового поднятия района сформирован современный рельеф.

ГЕОМОРФОЛОГИЯ

Рассматриваемый район расположен в пределах относительно молодой горной страны, в которой решающая роль в создании основных морфоструктур принадлежит новейшим тектоническим движениям. Древняя поверхность выравнивания расчленена последующими эрозионно-денудационными процессами, происходившими на фоне дифференцированных восходящих движений блоков земной коры. В районе четко выделяются два типа рельефа - эрозионно-денудационный и эрозионно-аккумулятивный. Первый из них пользуется преимущественным развитием и представлен низкогорьем и среднегорьем (рис.3).

Среднегорье распространено в северо-восточной части района в пределах отрогов Омсукчанского горного хребта, сложенных преимущественно магматическими породами. Абсолютные отметки вершин достигают 1245-1300 м при относительных превышениях над днищами прилегающих долин 400-700 м. Водораздельные гребни в области среднегорья узкие слабо сглаженные с редкими скальными участками. Вершины конусовидные острые, слабо возвышающиеся над

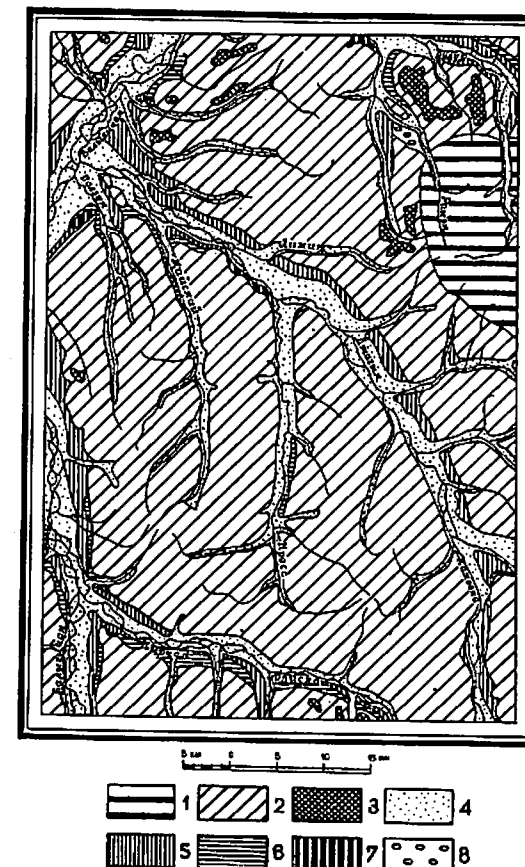


Рис.3. Геоморфологическая схема

Эрозионно-денудационный рельеф: I - среднегорье; 2 - низкогорье; 3 - реликты молодых поверхностей выравнивания; эрозионно-аккумулятивный и ледниковый рельеф: 4 - поимы и современные надпойменные аккумулятивные террасы I уровня; 5 - аккумулятивные и смешанные террасы II уровня; 6 - смешанные террасы III уровня; 7 - эрозионные террасы IV уровня; 8 - поверхности основной морены

водораздельными гребнями. В истоках руч. Зеленый наблюдаются отдельные куполовидные почти плоские вершины, образованные процессами альтипланации, с широко развитыми нагорными террасами. Слоны водоразделов в области среднегорья крутые ($15-35^{\circ}$) прямые или слабо вогнутые, иногда ступенчатые. В бассейне руч. Белка на площади развития омсукчанской свиты наблюдаются многочисленные кусты, образованные в результате препарировки полого-наклонных интрузивных залежей диоритовых порфиритов.

Среднегорье прорезано небольшими узкими симметричными \cup -образными долинами с крутыми ($0,03-0,01$) уклонами русел. Ширина днища наиболее крупной долины, р. Лев. Булдара, в области среднегорья не превышает 400 м. Незначительным развитием в среднегорной части района пользуются акзационные формы рельефа. В междуречье Ромен - Лев. Булдур отмечено два редуцированных кара небольших размеров.

Низкогорье занимает основную часть района, сложенную терригенными отложениями верхоянского комплекса. Абсолютные отметки вершин 500-850 м при относительных превышениях 200-350 м. Водоразделы широкие, плоские, плавно сопряженные с прямыми или слабо вогнутыми умеренно крутыми ($15-20^{\circ}$) склонами. Нижние части склонов более пологие ($5-10^{\circ}$), изобилующие криогенными микроформами рельефа. Преобладают среди них солифлюкционные террасы высотой 1-2 м, длиной до 100-150 м и бугры пучения диаметром 1,5-2 м и высотой 0,8-1,2 м. Вблизи крупных речных долин на водоразделах отмечаются реликты молодых поверхностей выравнивания (придолинные ступени). Они представляют собой плоские или пологонаклонные ($3-5^{\circ}$) поверхности, расположенные на высоте 340-600 м над уровнем моря и покрытые мелкообломочными аллювиально-делювиальными образованиями, среди которых изредка встречаются хорошо окатанные гальки и небольшие валуны. Долины рек в низкогорной части района широкие с пологими продольными уклонами и слабо асимметричными трапециевидными поперечными профилями.

Эрозионно-аккумулятивный рельеф представлен долинами водотоков. Долины наиболее крупных рек и ручьев являются секущими по отношению к складчатым структурам района. Для них характерны широкие (до 3-8 км) хорошо разработанные террасированные днища и корытообразные поперечные профили. Долины менее крупных ручьев с неширокими ($0,5-1$ км) днищами, с меньшим количеством террас; поперечные профили их обычно трапециевидные, в верховых \cup -образные. Большинство водотоков района находится в равновес-

ной стадии; лишь верховья ручьев, берущих начало в области среднегорья, врезаются в коренные породы.

Поймы и пойменные террасы наблюдаются в долинах всех водотоков. Ширина пойм колеблется в широких пределах в зависимости от величины водотоков. Наиболее широкие поймы в реках, находящихся в стадии равновесия (реки Балыгычан, Джагын, Кырчан), их ширина достигает 2,6 км. Высота пойменных террас 0,7-1 м при ширине до 0,9 км.

Надпойменные террасы четырех уровней голоценового (I) и плейстоценового (II-IV) возраста распространены преимущественно в крупных долинах. Терраса I уровня высотой 1,5-2,5 м аккумулятивная. Она прослеживается на всем протяжении рек и крупных ручьев и выражена очень четко. Поверхность ее ровная, почти горизонтальная, нередко рассеченная многочисленными протоками и старицами; ширина площадок террас варьирует от нескольких десятков метров в долинах небольших ручьев до 2,8 км по долинам основных рек района. Аллювий этих террас представлен хорошо окатанными галечниками, гравием и песками.

Терраса II уровня высотой 5-6 м преимущественно аккумулятивная, а в долинах ручьев Сонный и Тихий - смешанная. Терраса хорошо сохранилась во многих долинах района. Ширина площадок колеблется от первых сотен метров до 3,4 км при длине от 1-2 до 12 км. Бровка обычно четкая, поверхность слабоугристая, заболоченная, нередко на больших площадях ее развиты полигональные грунты. Аллювий террасы представлен гравием, галечниками, песками.

Терраса III уровня высотой 8-16 м на левобережье Кырчана аккумулятивная, а в других частях района смешанная. Участки этой террасы шириной до 1 км и длиной 0,7-8 км наблюдаются вблизи подножий склонов. Бровки террасы обычно четкие, а закраины перекрыты делювиально-солифлюкционными отложениями. Площадки террасы угристые, нередко заболоченные, слабо наклонные ($3-6^{\circ}$) к руслам рек. Мощность аллювия на смешанных террасах не превышает 3-5 м, представлен он песчано-гравийным материалом с примесью галек и суглинков.

Эрозионная терраса IV уровня высотой 60-80 м встречается в виде небольших отрезков в долинах Джагына, Кырчана, Кросса. Бровки террас сглаженные, ширина площадок от 0,4 до 1 км, длина 1-6 км. В тыльных частях площадки террас плавно сопряжены со склонами. Поверхности террас ровные, полого ($5-10^{\circ}$) наклонные

к руслам рек, вблизи окраин перекрыты делювиально-солифлюкционным чехлом; иногда на них встречаются небольшие скопления гальки и валунов.

Ледниковые аккумулятивные формы рельефа встречаются в долине руч. Ромзи; они образованы донной мореной. Моренный бугристо-западинный рельеф развит на площади около 10 км²; высота бугров и глубина западин не превышает 2-3 м, диаметр их 15-20 м.

ПОЛЕЗНЫЕ ИСКОПАЕМЫЕ

На рассматриваемой территории установлены проявления каменного угля,rudопроявления золота, серебра, олова и ртути, россыпные проявления олова, ртути и золота. Подавляющее большинство проявлений полезных ископаемых расположено в восточной части района, представляющей собой северо-западный фланг Балычано-Сугской структурно-металлогенической зоны, и парагенетически связано с ранне- и позднемеловыми малыми интрузиями и субвуликаническими телами кислого состава. В остальной части района известны лишь единичные шлиховые пробы с зернами золота, касситерита и киновари.

Сведения о полезных ископаемых даны на карте по состоянию на 1 января 1977 г.

ГОРИЧИЕ ИСКОПАЕМЫЕ

Твердые горючие ископаемые

Каменный уголь

Четыре проявления каменного угля (II-4-I, 2, 3, 4) установлены на левобережье р. Лев.Булдура. Они представляют собой полого наклонные (10-25°) пласти каменных углей мощностью от 0,4 до 1,2 м, залегающие в средней части разреза омсукчанской свиты. На трех проявлениях пласти каменного угля покрыты единичными канавками.

Прослеженная длина пластов колеблется от 200 до 750 м. Угли черные, полосчатые, блеск их смоляной и стеклянный, излом неровный до раковистого. Теплотворная способность 7490-7863 ккал/кг, зольность 10,2-26,1%, количество летучих компонентов колеблется от 2,8 до 10,5% на горючую массу, серы общей 0,14-0,51% [17, 19].

МЕТАЛЛИЧЕСКИЕ ИСКОПАЕМЫЕ

Цветные металлы

Олово

Рудопроявление олова (I-4-2) расположено на правобережье руч. Лед., левого притока р. Лев.Булдура и представлено брекчированными гидротермально измененными лишаритами, залегающими в плоскости тектонического контакта субвуликанического тела с вулканическими аскольдинской свиты. Простирание зоны брекчирования близкое к широтному, протяженность ее 1,5 км, мощность 5-15 м. В пределах зоны лишариты хлоритизированы, эпидотизированы и сменяются кварц-хлоритовым цементом; наблюдаются редкие выражения пирита, халькопирита и гнеазда флюорита. В одной штучной пробе содержание олова достигает 0,43% (анализ химический), в 14 остальных не превышает 0,02% (спектрально). Кроме олова, содержится серебро 1-5 г/т, мышьяк (до 0,1%) и цинк (до 0,5%).

Шлиховой ореол рассеяния олова (II-4-II) охватывает левобережье р. Лев.Булдура, площадь его около 100 км². В пределах ореала выше 20% шлиховых проб содержит зерна касситерита, а в аллювиев руч. Лед содержание его колеблется от 0,5 до 12 г/м³. Касситерит мелкий (0,5-1 мм) коричневого и темно-коричневого цвета. Ореол охватывает вулканогенные образования аскольдинской свиты, прорванные субвуликаническими телами лишаритов, и осадочные отложения омсукчанской свиты, пронизанные многочисленными интрузивными залежами диоритовых порфиритов. Спорадически зерна касситерита встречаются также в аллювиев рек Кырчана, Описки, Каюковки и руч. Безымянной.

Редкие металлы

Ртуть

Металлометрические и шлиховые ореолы рассеяния киновари установлены в восточной части района, входящей в состав Омсукчанской ртутоносной зоны [2]. Коренные источники киновари не установлены. Металлометрический ореол рассеяния киновари (П-4-9) расположен в истоках ручьев Лимит и Лев.Ромэн. На площади ореола развиты мелко- и среднезернистые туфопесчаники аскольдинской свиты, на которых с резким угловым несогласием в восточной части участка лежат вулканиты аскольдинской свиты.

Широко развиты разрывные нарушения широтного и северо-западного направления. Коренные породы перекрыты мощным (не менее 4-5 м) чехлом суглинисто-щебнистых элювиально-делювиальных образований. Металлометрические ореолы рассеяния с содержаниями ртути $5\text{--}7 \cdot 10^{-4}\%$ протяженностью 1300-1700 м и шириной 300-450 м тяготеют к разрывам широтного направления. Внутри них установлены узкие ореолы с содержаниями ртути до $1\text{--}2 \cdot 10^{-2}\%$. В восточной части участка вблизи контакта осадочных пород с вулканитами аскольдинской свиты произведена промывка элювиально-делювиальных отложений. Из 500 проб в 195 пробах содержатся зерна киновари, а в 30 из них ее содержание достигает $10\text{--}108 \text{ г}/\text{м}^3$. Размер зерен киновари колеблется от 0,1 до 2 мм, изредка встречаются мелкие (до 2 см в поперечнике) плоские обломки сильно измененных песчаников (?) с диккитом и обильной (до 30-40%) вкрапленностью киновари.

Шлиховой ореол рассеяния киновари (П-4-10) площадью около 160 км^2 охватывает бассейны ручьев Ромена, Лимит и р.Лев.Будура. В 20% шлиховых проб, взятых в пределах ореола, встречены единичные зерна киновари, а в истоках ручьев Лев.Ромэн и Лимит содержания ее достигают $0,5\text{--}1 \text{ г}/\text{м}^3$. Размер зерен киновари 0,1-2 мм.

Менее крупный шлиховой ореол рассеяния киновари (Ш-4-1) расположен в бассейнах ручьев Курсант и Безымянный; площадь его 45 км^2 . На площади ореола развиты юрские терригенные отложения и вулканиты наяханская свиты. В 10% шлиховых проб здесь установлены немногочисленные мелкие (0,5-1 мм) зерна киновари. Спорадически киноварь встречается также в аллювиальных отложениях р.Каховки, ручьев Ползун и Кросс.

Благородные металлы

Золото

Рудопроявление (П-4-6) расположено в истоках руч.Зеленый, оно представляет собой зону интенсивно окварцованных и лимонитизированных липаритов аскольдинской свиты. Простирание ее близко к меридиональному, мощность 1-2 м (по делению), протяженность 150-200 м. В одной пробе пробирным анализом установлено золото (0,4 г/т) и серебро (2 г/т). Россинные проявления золота единичны. Редкие шлиховые пробы с одним-двумя зернами золота установлены по рр.Кирчану, Лев.Будуру, Кендаге, Кроссу и Арылаху. Слабо окатанные пластинки золота красноватого цвета не превышают 0,5-1,5 мм в поперечнике.

Серебро

На правоберегье руч.Зеленый (П-4-7) в слабо каолинизированных липаритах аскольдинской свиты обнаружен ряд развалов тектонических брекчий, сцепментированных халцедономидным кварцем с пикомитом. Зоны прослежены на 80-100 м, направление их северо-западное $310\text{--}330^\circ$, мощность 1,5-2 м (по делению). Содержание серебра от 5,4 до 100 г/т, золота до 0,2 г/т (пробирный анализ). С площадью рудопроявления совпадает аномалия калиево-составляющей гамма-поле [15,23]. Аналогичное рудопроявление серебра (П-4-5) установлено в истоках руч.Белка. Брекчированные липариты, сцепментированные кварцевым цементом, содержат 7,1 г/т серебра и 0,1 г/т золота. Параметры зоны не установлены.

На г.Трибуна в раннемеловых гранит-порфирах выявлено большое количество кварцевых жил и зон прожилкования. Мощность жил и зон от 0,3 до 1 м, протяженность 50-300 м; ориентированы они преимущественно в субмеридиональном направлении ($350\text{--}40^\circ$). Пробирным анализом в жилах установлено серебро (1,8-2,5 г/т) и следы золота.

Несколько рудопроявлений серебра находится среди юрских и нижнемеловых осадочных образований. На правоберегье Лев.Будура

(I-4-I) среди континентальных отложений омсукчанской свиты обнаружены две обнаженные кварцевые жилы бреековой текстуры мощностью 0,2-0,4 м с обильными псевдоморфозами лимонита по пириту и пленками скородита. Простирание жил северо-восточное 40-50°, протяженность 30-50 м. Жилы содержат серебро (до 40,4 г/т) и следы золота (пробирный анализ).

На правобережье руч. Зеленый (II-4-8) кварцевая жила с редкой вкрапленностью сульфидов, залегающая среди отложений октябринской свиты, содержит 44,6 г/т серебра (пробирный анализ). На левобережье Кирчана (II-1-1) в кварцевой жиле с редкой вкрапленностью пирита и корочками окислов марганца содержание серебра достигает 30 г/т (спектрально). Мощность жилы 0,5-0,8 м, протяженность не установлена.

СТРОИТЕЛЬНЫЕ МАТЕРИАЛЫ

Район богат строительными материалами - строительным камнем, керамзитовым сырьем и песчано-гравийными смесями, но оптимальные работы по их оценке не проводились. В качестве строительного камня могут быть использованы палеогеновые базальты, распространенные вблизи устья Каховки. Это очень плотные афантитовые породы сине-черного цвета, имеющие крупноблочную отдельность. Как бутовый камень в восточной части района могут быть использованы лишариты и игнimbриты аскольдинской и нахчанская свит. Керамзитовым сырьем являются аргиллиты омсукчанской свиты, распространенные в бассейне Лев.Будура. Мощность пачек аргиллитов колеблется от 10 до 80 м, в них содержатся редкие маломощные (0,2-1 м) прослои алевролитов и разновозернистых песчаников (не более двух-пяти прослоев на пачку). Залегание слоев пологое (10-15°, реже 25-30°). Промышленные исследования аналогичных аргиллитов в окрестностях пос. Омсукчана [14] показали их высокие качества; они характеризуются легкой всучиваемостью, небольшими содержаниями CaO, SO₃, серы и углерода.

Песчано-гравийные смеси широко распространены в долинах Балыгчана, Джагчина, Кирчана и Каховки. Они обнаруживаются в бортах надпойменных террас, мощность их достигает 5-10 м. Гальки и гравий состоят из вулканитов, в небольших количествах встречаются обломки ороговикованных осадочных пород. Песчаная фракция

составляет 30-35% объема отложений; она представлена средней и крупнозернистым полимиктовым песком. Содержание глинистой фракции не превышает 3-5%.

Для создания теплоизолирующего слоя при освоении в районе сельскохозяйственных угодий широко могут быть использованы залежи торфа, обнаруженные на правобережье Джагчина вблизи его устья. Залежи торфа слагают верхний слой (4,5-5 м) надпойменной террасы и имеют мощность более 2-2,5 м. Выходы залежи торфа прослежены в подножии берега террасы на 2 км, предполагаемая ширина залежи 1-1,5 км; вероятные запасы торфа составляют 6-10 млн.м³. Торф темно-коричневого цвета плотный прерывисто-слоистый неяснополосчатый, с незначительной примесью глинистого материала.

ПОДЗЕМНЫЕ ВОДЫ

Рассматриваемый район расположен в области развития сплошной многолетней мерзлоты. Мощность толщи многолетнемерзлых почв, установленная бурением в бассейне Каховки в ее истоках, равна 120-180 м. По А.И.Калабину [3], на территории листа развиты два основных вида подземных вод - надмерзлотные и подмерзлотные.

Надмерзлотные воды приурочены к сезонноталому слою и участочным подрусловым таликам. Наибольшего практического интереса заслуживают воды подрусловых таликов, циркулирующие круглый год. Они развиты в долинах Балыгчана, Джагчина, Кирчана и Каховки; индикаторами таликовых зон являются ленточные лиственные леса вдоль пойм и пойменных террас. По химическому составу воды подрусловых таликов идентичны речным водам и относятся к группе гидрокарбонатных щелочных и щелочноzemельных вод с pH 6,0-6,4 и слабой минерализацией (30-40 мг/л). В составе микрокомпонентов (по данным спектрального анализа сухого остатка) присутствуют магний, марганец, медь, барий, стронций, титан, цирконий [10].

Воды сезонноталого слоя появляются в конце мая и полностью промерзают в октябре-ноябре. Сезонноталый слой охватывает верхнюю часть рыхлых четвертичных отложений; глубина его оттаивания в зависимости от экспозиции и задернованности склонов, состава грунта и температуры воздуха изменяется от 0,2 до 3 м. Питание

подмерзлотных вод происходит за счет таяния мерзлоты, атмосферных осадков и конденсации влаги из воздуха на камених россыпях у подошвы оттаивающих грунтов.

Водообильность сезонноталого слоя находится в зависимости от крутизны склонов, фильтрующих свойств грунта, характера растительности. Наиболее существенным является последний фактор; уничтожение лесными пожарами 1972-1973 гг. растительного покрова на большей части района вызвало резкое изменение гидрогеологического режима сезонноталого слоя. Уничтожение теплоподзолирующего слоя и возросшее вследствие зачернения теплопоглощение привели к интенсивному и более глубокому протаиванию многолетней мерзлоты и переувлажнению сезонноталого слоя. Следствием этого явились многочисленные оползни в нижних частях склонов долин. Наиболее значительные из них произошли на правом склоне долины Балыгчана ниже устья Джагына. Здесь наблюдаются отдельные оползни слоя рыхлых четвертичных делювиально-солифлюкционных отложений шириной до 0,3-0,6 км и длиной 0,6-1,0 км; мощность оползшего слоя 0,8-1,5 м.

Разгрузка вод сезонноталого слоя происходит через многочисленные слабо напорные исходящие источники (родники), расположенные обычно у подножия склонов; дебит таких родников не превышает 0,5-2 л/с. Нередко воды сезонноталого слоя скапливаются в понижениях рельефа водораздельных пространств, вдоль зон тектонических нарушений и на поверхностях высоких речных террас и вызывают образование кочкарных болот.

Выходов подмерзлотных вод в районе не обнаружено, но они могут быть в месте образования крупной наледи в долине Джагына выше устья Каховки. Площадь наледи достигает 1,5-2 км² при мощности льда 1-2,5 м. Наледь полностью ставит во второй половине лета. Для промышленного и гражданского водоснабжения в летнее время могут быть использованы воды поверхностного стока, а зимой воды устойчивых подгрусловых талников.

ОЦЕНКА ПЕРСПЕКТИВ РАЙОНА

В отношении полезных ископаемых район изучен слабо. До настоящего времени здесь проведено лишь шлиховое опробование, отобрано небольшое количество штучных проб, в небольших объемах применены геохимические методы поисков.

Все установленные проявления золота, серебра, олова и ртути расположены в северо-восточной части района, представляющей собой западный фланг Балыгчано-Сугайской структурно-металлогенической зоны, в пределах которой известны промышленные месторождения этих металлов (кроме ртути). Геологические факторы, благоприятные для локализации близповерхностного золото-серебряного оруденения в рассматриваемой части района - широкое развитие кислых вулканитов и рассекающих их субвулканических тел, наличие многочисленных разрывных нарушений и полей гидротермально измененных вулканогенных пород, вмещающих многочисленные гидротермальные жилы. Уже известные здесь проявления серебра с содержаниями 40-100 г/т указывают на возможность обнаружения промышленных рудных тел. Для их поисков и оценки рекомендуется проведение в северо-восточной части района геологосъемочных и поисковых работ масштаба 1:50 000 (рис.4).

Значительны перспективы района и в отношении редкometально-го оруденения. Крупные вторичные ореолы рассеяния ртути в истоках руч. Лимит свидетельствуют о возможности обнаружения здесь среднего промышленного месторождения. Геолого-структурная обстановка - наличие благоприятной вмещающей среды (средне- и крупнозернистых песчаников октыбринской свиты), плотного экрана из пологозалегающих покровов лишаритов аскольдинской свиты и многочисленные разрывы в толще осадочных пород - ставят это проявление в число первоочередных объектов для поисково-оценочных работ. Участок находится в благоприятных экономических условиях в 60 км от крупных горнорудных предприятий. Для его оценки рекомендуется провести комплекс поисковых работ, включающий литохимическую съемку, закопки на склонах, проходку поверхностных горных выработок и колонковое бурение.

Перспективы территории в отношении открытия оловорудных месторождений незначительны. В его пределах не обнаружено более менее значительных площадей интенсивной хлоритизации и турмалинизации осадочных и вулканогенных толщ, среди которых обычно локализуется оловянное оруденение. Известное проявление олова в бассейне руч. Лед не представляет большого интереса из-за слабой гидротермальной переработки вмещающих пород, небольших параметров жильных тел и низких содержаний олова в них. Шлиховой ореол рассеяния кассiterита в бассейне руч. Булура требует дополнительного изучения; в процессе более детальных поисковых работ здесь могут быть выявлены небольшие коренные источники олова.

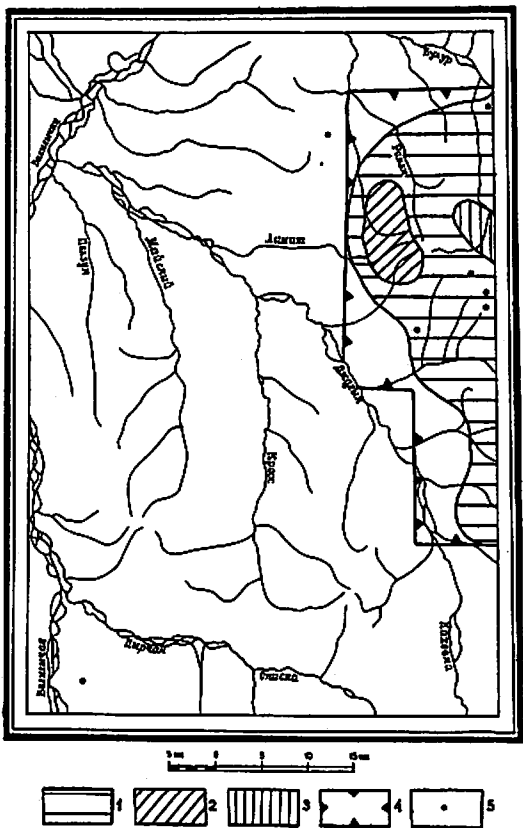


Рис.4. Прогнозная схема

1 - площадь, перспективная на золото-серебряное оруденение; 2 - площадь, перспективная на редкometальное оруденение; 3 - площадь, перспективная на каменный уголь; 4 - площадь, рекомендованная для геологического съемочных и поисковых работ м-ба 1:50 000 на золото, серебро и редкие металлы; 5 - рудопроявления серебра и золота

Среди отложений верхоянского комплекса в районе пока не установлено ни одного коренного источника золота. Редки здесь и проявления россыпного золота, они отмечаются в количестве 1-2 зерен в единичных шлиховых пробах. По этой причине район в целом должен относиться к слабо перспективным в отношении возможности обнаружения месторождений золота. Однако следует иметь в виду, что территория изучена недостаточно: количество штробных проб, взятых из широко развитых в районе кварцевых и других жил, невелико; не всегда благоприятны условия для шлихового опробования. Указанные обстоятельства, а также и положение района в пределах Иняли-Дебинского мегасинклиниория на продолжении Главного Колымского золотоносного пояса позволяют рекомендовать в западной части района постановку крупномасштабных поисковых работ, включающих шлиховое и штробное опробование и геохимические поиски по потокам рассеяния, с целью возможного обнаружения россыпных и рудных месторождений золота.

При экономическом освоении района его потребности в твердом топливе могут быть удовлетворены за счет местных ресурсов. На площади развития нижнемеловых угленосных отложений омсукчанской свиты возможно обнаружение пластов каменного угля рабочей мощности, пригодных для карьерной разработки. Ожидаемые запасы каменного угля не менее 3-4 млн.т.

В связи с отсутствием признаков битуминозности пород и нефтегазопроявлений, сложной дислокированность пород верхоянского комплекса, наличием многочисленных разрывных нарушений и интрузивных тел территория не перспективна для поисков нефти и газа.

В случае необходимости в местных строительных материалах в долинах Балыгчана, Лхагчана, Каховки можно быстро разведать месторождения песчано-гравийной смеси, а в бассейне Лев.Булуда - керамзитового сырья. Для нужд сельского хозяйства необходимые количества теплоизоляционного материала (торфа) могут быть разведаны в долинах Даагчана и Балагачана.

Фондовая^{х)}

ЛИТЕРАТУРА

Опубликованная

1. АНИКЕЕВ Н.П., ВАСЬКОВСКИЙ А.П. и др. Тектоника. В кн.: Геология СССР, т. XXX, М., "Недра", 1968, с.319-320.
2. БАБКИН П.В. Ртутносульфидные провинции Северо-Востока СССР. Новосибирск, "Наука", 1975, 166 с.
3. КАЛАБИН А.И. Вечная мерзлота и гидрогеология Северо-Востока СССР. Тр.ВНИИ-1, Магадан, 1960, т.ХIII, 469 с.
4. ЛЬВОВ К.Л. Вулкано-тектонические структуры, стратиграфия мела и палеогена Балыгчано-Сугойского прогиба. В кн.: Мезозой Северо-Востока СССР (Тезисы докладов Межведомственного стратиграфического совещания). Магадан, 1975, с.26.
5. МАТИЩЕНКО В.Т. Тектоника, магматизм и оруденение Омсукчанского района Магаданской области. Тр.ВНИИ-1, Магадан. 1960, вып.60, с.198-210.
6. ПАНЧЕНКО И.А., ТИТОВ В.А. Особенности геологического строения юго-восточного фланга Индигиро-Дебинского мегасинклиниория. В кн.: Материалы по геологии и полезным ископаемым Северо-Востока СССР, Магадан, 1972, вып.20, с.243-253.
7. Ресурсы поверхностных вод СССР. Основные гидрогеологические характеристики, т.19, Северо-Восток. Гидрометеосиздат, Л., 1966, с.112-113.
8. СЛЕРГИН В.А., УСПЕНСКАЯ Н.Б. Государственная геологическая карта СССР м-ба I:200 000. Лист Р-56-Х. "Недра", 1975.
9. СИМАКОВ А.С. Государственная геологическая карта СССР м-ба I:1 000 000. Лист Р-56. Госгеолтехиздат, 1957.
10. СИМОНОВ Ю.Н. Государственная геологическая карта СССР м-ба I:200 000. Лист Р-56-ХIII, "Недра", 1964.
11. ФИЛАТОВ С.И. Государственная геологическая карта СССР м-ба I:200 000. Лист Р-56-ХIII. "Недра", 1967.

12. БАРЧЕНКО Д.Н., СТАРНИКОВ В.Г., ГОРБАЧЕВА М.Б. Отчет о работе Омсукчанской аэромагнитной партии (м-б I:50 000) за 1965 г. 1966, № 014731.
13. БЕЛОКОСЫТОВ В.Н. Отчет о работе Майской геологопоисковой партии (м-б I:100 000) за 1958 г. 1959, № 012326.
14. БИТОК Л.Д., ИВАНОВА Н.С. Отчет о результатах детальной разведки месторождения керамзитового сырья вблизи пос.Омсукчан (Омсукчанский отряд по стройматериалам, 1974-1975 гг.). 1975, № 18282.
15. ГРИНЕВИЦКИЙ Г.З., МЕНЬШИКОВ А.Ю., ШЫДАК Л.И. Отчет о результатах комплексной аэрофизической съемки м-ба I:25 000 в центральной части Омсукчанского рудного пояса за 1974 г. 1975, № 018285.
16. ДАНИЛЕВСКИЙ В.А. Отчет о работе Лево-Балыгчанской детально-спроводательской партии за полевой период 1945 г. 1946, № 6270.
17. ДОРОМЕЕВ Н.Т. Информационный отчет о результатах поисково-заключительных работ на уголь в бассейне рек Булур, Арилах и Лев.Марат в полевой сезон 1974 г. (Кенский поисково-разведочный отряд). 1975, № 01024.
18. ЗУБРЕВ И.Н. Геологический отчет по Верхне-Балыгчанской партии (м-б I:500 000) за полевой период 1936 г. 1937, № 170.
19. КЛИМОВ Г.А. Отчет о работе Верхне-Будурской детальной геолого-поисковой комплексной партии (м-б I:25 000) за 1952 г. 1953. № 9866.
20. КОНЫЛЬИНСКИЙ Ю.Г. Геологическая карта и карта полезных ископаемых территории деятельности Омсукчанской комплексной экспедиции СВГГУ м-ба I:500 000. 1967, № 06491.
21. КОЛТОВСКОЙ Г.Г. Отчет Верхне-Кирчанской и Верхне-Буксундинской геолого-рекогносцировочной партии (м-б I:500 000) за полевой период 1937-1938 гг. 1939, № 321.

^{х)} Работы хранятся в геологических фондах Северо-Восточного территориального геологического управления.

22. КРИСТ А.Л. Отчет о работе Кирчанской геолого-поисковой партии в бассейне среднего течения р.Балыччана (м-б I:100 000) за полевой период 1948 г. 1949, № 7666.

23. ЛАПИН И.Б., СОРОКИН Е.И., ЧУРАВЦОВ А.П. Отчет о геологической съемке и доказательствах в м-бе I:200 000 низовьев р.Джагына (лист Р-56-ХI, Нижне-Джагынский ГСО, 1974-1975 гг.). 1976, № 018852.

24. ЛЕБЕДИНСКИЙ В.Н. Отчет о геологических исследованиях в бассейне среднего течения р.Джагын в 1945 г. 1946, № 6269.

25. ЛЕЙБОВИЧ М.Н. Отчет о работе Право-Эльгенской геолого-поисковой партии (м-б I:100 000) за полевой период 1952 г. 1953, № 9864.

26. МОСКАЛЕВ В.А., КУЗЬМИН Ю.Ф. Отчет о работе Зырянской гравиметрической партии (м-б I:1 000 000) в 1964 г. 1965, № 014500.

27. ТРИФОНОВ В.А. Отчет Право-Колымской геолого-рекогносцировочной партии о геологических исследованиях Балыччано-Сугойского водораздела (м-б I:500 000) за 1940 г. 1941, № 1675.

28. ТРИФОНОВ В.А. Отчет Булурской геолого-поисковой партии (м-б I:100 000) за полевой период 1944 г. 1945, № 6061.

29. ФЕЙИН Я.М. Геологический отчет Нижне-Балыччанской геолого-рекогносцировочной партии за 1936 г. 1937, № 185.

30. ХАРКЕВИЧ Д.С., АВДЕЕВ А.М. Отчет о работе Джагынской геолого-рекогносцировочной партии в бассейне рек Джагын и Марат (м-б I:500 000) за полевой период 1941 г. 1942, № 1763.

31. ШУРЫГИН В.Н., ИЕВЛЕВА Т.Н. Промежуточный отчет о работе Сарманской геологосъемочной партии (м-б I:50 000) за полевой период 1965 г. 1966, № 0150II.

Приложение I

Список

проявлений полезных ископаемых, показанных на листе Р-56-ХI геологической карты м-ба I:200 000

Индекс клетки на карте	№ на карте	Вид полезного ископаемого и название (местонахождение) проявления	Ссылка на литературу (номера по списку литературы)	Примечание
I	2	3	4	5
Твердые горючие ископаемые				
Каменный уголь				
II-4	I	Левобережье руч.Белка	17,19	В коренном залегании
II-4	2	То же	17,19	То же
II-4	3	" "	17,19	" "
II-4	4	Правобережье руч.Белка	23	В делювии
Металлические полезные ископаемые				
Цветные металлы				
Олово				
I-4	2	Правобережье руч.Лед	23	
II-4	II	Бассейн р.Лев.Булара	19,23	В зоне Шлиховой ореол
Редкие металлы				
Ртуть				
II-4	9	Истоки ручьев Лимит Лев. Роман	23	Металлометрический ореол

I	2	3	4	5
II-4	I0	Бассейны ручьев Лимит, Ромэн, р.Лев.Будура	23	Шлиховой ореол
III-4	I	Бассейны ручьев Курсант и Безымянний	23	То же
		Благородные металлы		
		Золото		
II-4	6	Истоки руч.Зеленый	23	В делювии
		Серебро		
I-4	I	Правобережье Лев.Булура	23	В элювии
II-4	5	Правобережье руч.Белка	23	То же
II-4	7	Правобережье руч.Зеленый в истоках	15,23	" "
II-4	8	Правобережье руч.Зеленый в среднем течении	23	В делювии
IV-I	I	Левобережье Кирчана	23	В элювии

Приложение 2

Список определений фауны и флоры по листу Р-56-ХI

Индекс клетки	Номер точки на карте	Номер составной занимаемой части	Местонахождение	Определенный комп- лекс фауны и флоры	Геологич- еский возраст	Как определил	Автор рабо- ты
I	2	3	4	Карнийский ярус	Карнийский век-ранняя часть нор- ийского века	Полуботко А.В. Репин Ю.С.	Данин М.В. 1974 г.
II-4	23	228	Левобережье Каюв- ки	Halobia sp.indet.	Норийский ярус	Вероятно Норийский век	Вычков Ю.М. 1975 г.
IV-I	14	436	Левобережье руч. Кенчана	Discretella ex gr. egischevi Nekh., Cardinia sp.indet., Monotis sp.indet.			

	2	3	4	5	6	7	8
IV-1	15	1465	Левобережье Балты-чана	<i>Monotis</i> sp. indet. (M. ex Gr. ochootica, Keys.)	Норийский век	Батиков Ю.А.	Данин М.Б. 1975 г.
IV-1	16	2258	Левобережье руч. Кондага	<i>Monotis</i> sp. indet. (M. ex Gr. subcircula- ris Gabb.)	Норийский век	—"	—"
IV-2	19	1446	Правобережье руч. Кендалага	<i>Discritella</i> ex Gr. agassizii Nied.; Ara- chionops gen. indet.; <i>Monotis</i> cf. <i>subcir- ularis</i> Gabb., <i>Monotis</i> sp. indet. (M. ex Gr. ochootica (Keys.); <i>Gryphaea</i> sp. indet., <i>Ostrea?</i> sp. indet.	Норийский век, сюда <i>Monotis</i> <i>ochootica</i>	—"	—"
IV-2	20	424.	Левобережье Кир-чана	<i>Monotis ochootica</i> (Keys.)	—"	—"	—"
IV-4	22	227	Левобережье Ка-ховки	<i>Monotis</i> sp. indet.	Норийский век	Полуботко И.В. Репин Ю.С.	Данин М.Б. 1974 г.

	1	2	3	4	5	6	7	8
				Простая система				
I-2	1	497	Водораздел ручьев Накодка-Богатырь	Обломки промагматического слоя раковин, вероятно, <i>Mytilocerasium</i> sp. indet.	Вероятно, средний пра	Полуботко И.В.	Данин М.Б. 1975 г.	
II-2	2	381	Левобережье руч. Кросс	<i>Mytilocerasium</i> sp. indet. (M. cf. <i>provincialis</i> (Koch).) <i>Mytilocerasium</i> sp. indet. gr. <i>lucifer</i> (Richw.)?	Средний пра, не древнее байоса	—"	—"	
II-2	3	382	Там же	<i>Mytilocerasium</i> sp. indet. (M. cf. <i>provincialis</i> (Koch).) <i>Mytilocerasium</i> sp. indet.	Средний пра, скорое, поздний аз- лан - самый ранний байос	—"	—"	
II-2	4	384	Левобережье руч. Кросс	<i>Bellerites</i> gen. indet., <i>Mytilocerasium</i> ex Gr. po- lyplacis (Röhm.)?, M. ex gr. <i>menneri</i> Kosch., M. ex gr. <i>lucifer</i> (Richw.)?	Поздний азлан- ранний байос (скорее пос- леднее)	Полуботко И.В. Кинасов В.П.	Данин М.Б. 1974 г.	
II-3	5	107	Водораздел ручьев Загри-Дильят	Обломки промагматического слоя раковин <i>Mytilocerasium</i>	Средний пра- самые низан- ке ливней (не древнее бай- оса)	Полуботко И.В. Репин Ю.С.		

1	2	3	4	5	6	7	8
II-3	6	II25	левобережье руч. Загорин	Скопление относительно толстых призматических слоев <i>Myllococtenites</i>	Средняя пра- самая ниж- каелловия	Полуботко И.В. Репин Д.С.	Лапин М.Б. 1974 г.
II-4	9	I36	Правобережье руч. Зеленый	Редкие обломки призматического слоя; пустоты от тоистыхростров билемнитов	То же	-"	-"
III-2	10	2220	Водораздел ручьев Мир - Маковка	Обломки призматического слоя раковин <i>Myllococtenites</i>	Вероятно, пра- средняя пра-	Полуботко И.В.	Лапин М.Б. 1975 г.
III-4	II	I72	Левобережье руч. Зеленый	Призматический слой раковин <i>Myllococtenites</i>	Средняя пра- самая ниж- каелловия	Полуботко И.В. Репин Д.С.	Лапин М.Б. 1974 г.
III-4	12	I48	Правобережье руч. Красн?	<i>Belemnites gen.indet.</i> cf. <i>Myllococtenites</i> (Leh.) <i>Myllococtenites</i> sp. indet. (M. ex <i>gr.</i> <i>retrocurvus</i> (Key).)	Средняя пра- (из пира- ничных слое- вий) и са- та. Условно можно отнес- ти к ранней части dara)	-"	Лапин М.Б. 1974 г.
III-4	13	264	Верховья руч. Кур- санит	<i>Belemnites gen.indet.</i> Отпечаток от звезд- чатой конкреции	Древесина, не древнее по- знего плини- дака	Кинасов В.Д.	Лапин М.Б. 1975 г.

1	2	3	4	5	6	7	8
II-2	II	I399.	Правый берег доли- ны руч. Мир	<i>Belemnites gen.</i> indet.	Средняя пра	Ефимова А.Ф. Кинасов В.Д.	Белокопытов В.Н., 1953 г. Лапин М.Б. 1975 г.
II-2	18	I22	Правобережье руч. Сарп. залмы Усть- Алты	<i>Myllococtenites</i> sp. indet.	Средняя пра	Ефимова А.Ф.	Белокопытов В.Н., 1953 г.
II-2	21	209	Левобережье Ка- хонки	Пустоты от тонкого растра билемнита, вероятно, из семе- ства <i>Nastitidae</i>	Скорее все- го, аланский век (?)	Полуботко И.В. Репин Д.С.	Лапин М.Б. 1974 г.
				Меловая система			
II-4	7	683	Левобережье руч. Белка	<i>Pityophyllum norden- skii</i> (Heer) Math. <i>P. angustifolium</i> Math. <i>Balera</i> sp.	Верхняя пра- нижний мел	Ефимова А.Ф.	Коликов 1952 г.
II-4	8	89	Там же	<i>Phoenixopsis</i> ex gr. <i>angustifolia</i> Heer, <i>Carpolites</i> sp., <i>Picea</i> sp.	Пра - мел	Филиппова Г.Г.	Лапин М.Б. 1974 г.

С о д е р ж а н и е

Стр.

Введение	3
Геологическая изученность	5
Стратиграфия	9
Инtrузивные образования	33
Тектоника	46
Геоморфология	54
Полезные ископаемые	58
Подземные воды	63
Оценка перспектив района	64
Литература	68
Список проявлений полезных ископаемых	71
Список определений фауны и флоры	73

Редактор Т.И.Матис

Технический редактор Т.А.Ушакова

Корректор Р.Я.Синева

Сдано в печать 4/XII-1981 г. Подписано к печати 27/XI-1981 г.
Тираж 149 Формат 60x90/16 Уч.-изд.л. 5 Заказ 0239.

Ленинградская картографическая фабрика ВСЕГЕИ